

**ACERO:
PANDEO Y DIMENSIONADO
A FLEXOCOMPRESIÓN**

PANDEO

Deformación transversal
debida a
axil (longitudinal)

INESTABILIDAD



COMPROBACIONES ACERO

1. ELU

1.1 Resistencia

- Axil
- Momento(s)
- Cortante(s)
- Torsión

Pilares

1.2 Inestabilidad

- Pandeo
- Pandeo lateral

1.3 Efectos locales

- Abolladura
- Cargas concentradas

2. ELS

2.1 Deformación

- Flecha
- Horizontal

2.2 Vibración

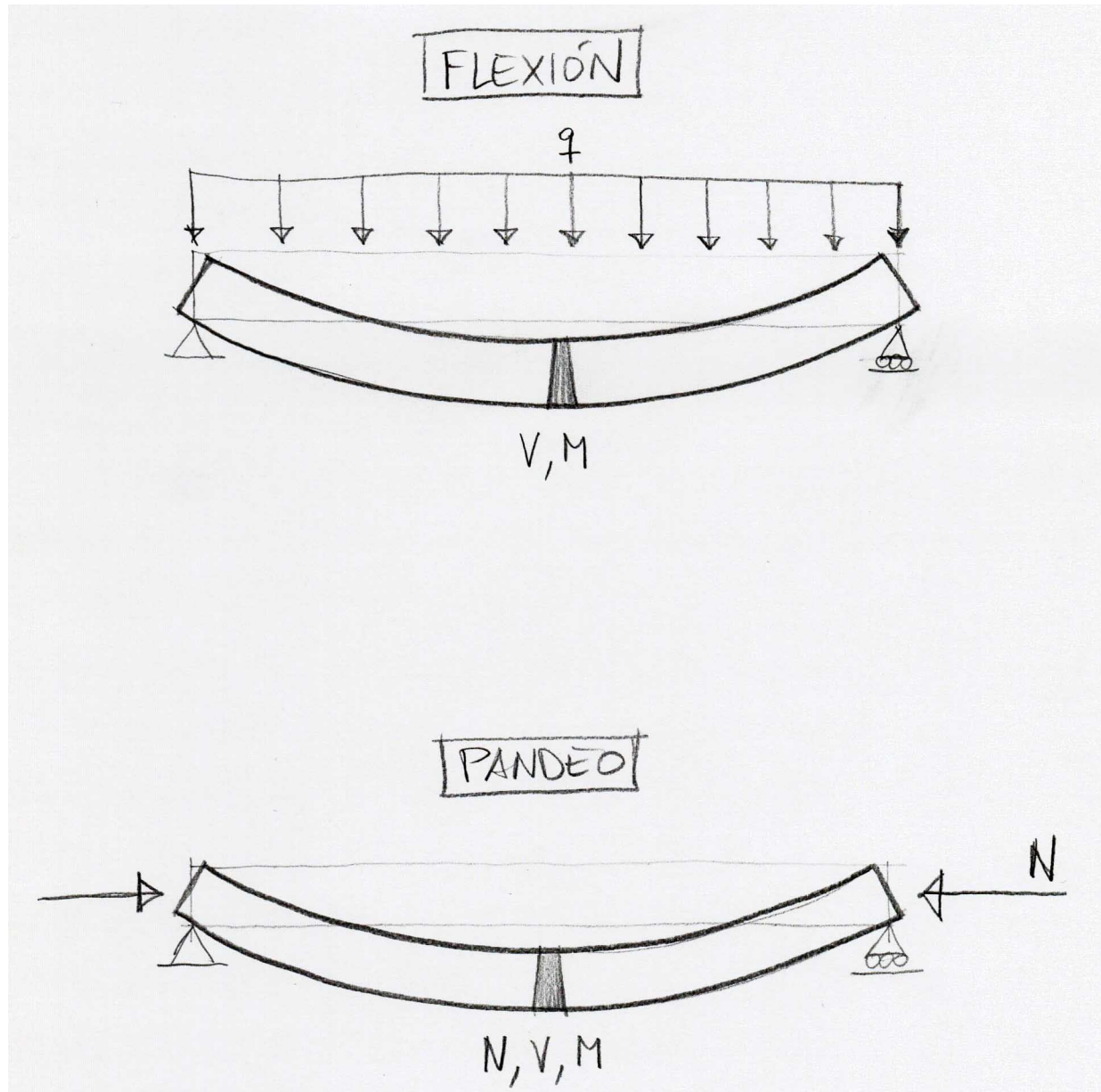
3. NUDOS

3.1 Uniones

3.2 Comprobación local

PANDEO \neq FLEXIÓN

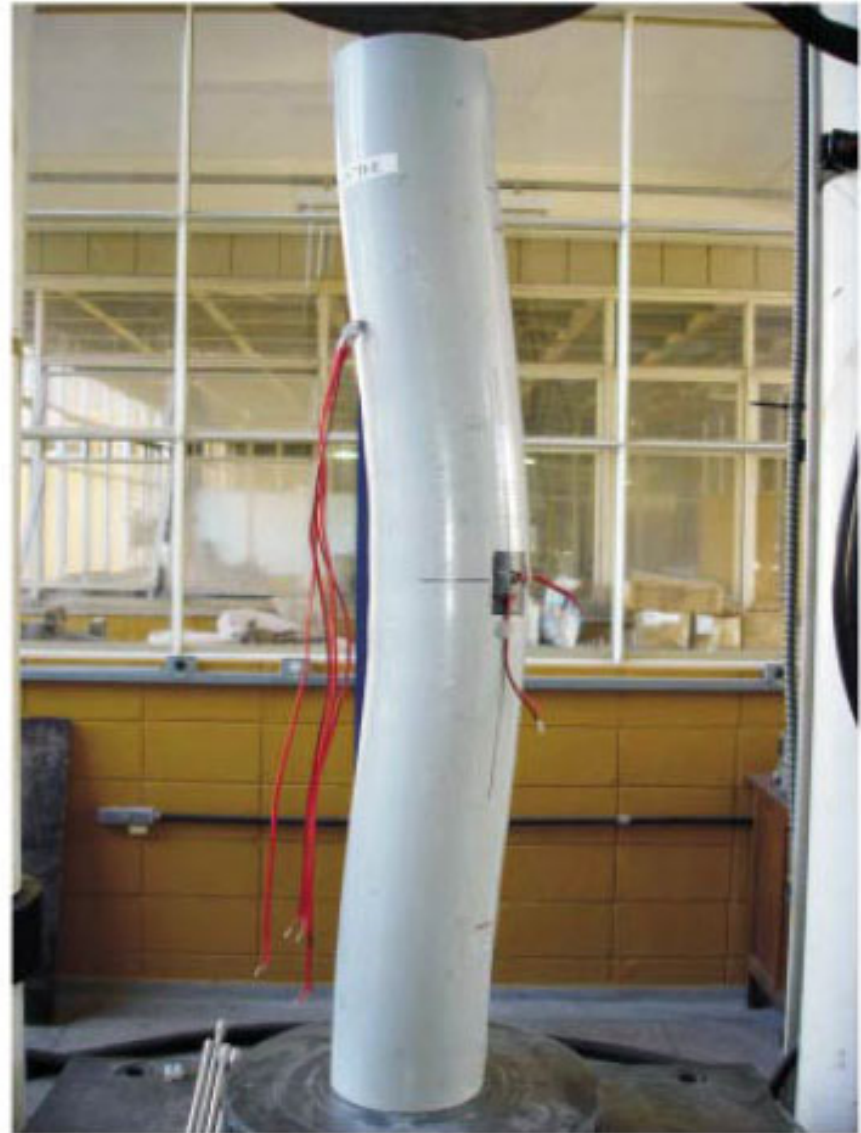
El pandeo causa flexión
($M+V$), pero no por
cargas transversales



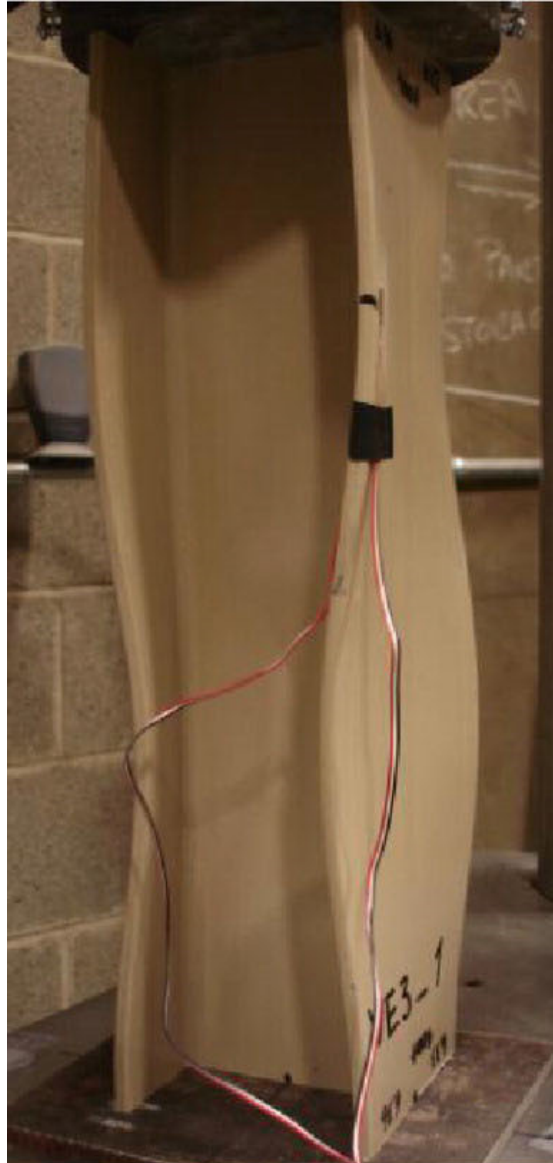
PANDEO \neq FLEXIÓN



PANDEO \neq FLEXIÓN



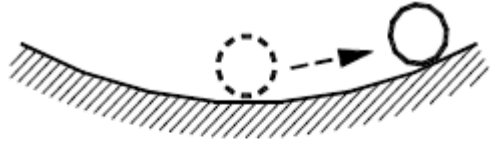
PANDEO \neq FLEXIÓN



PANDEO \neq FLEXIÓN

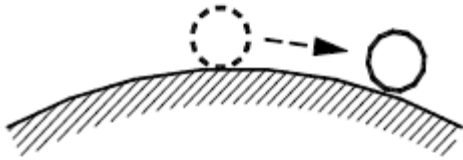


GENERALIDADES: TIPOS DE EQUILIBRIO



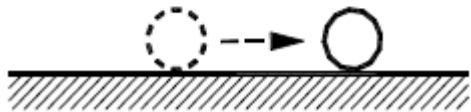
Equilibrio estable

Fuerzas actuantes devuelven a equilibrio



Equilibrio inestable

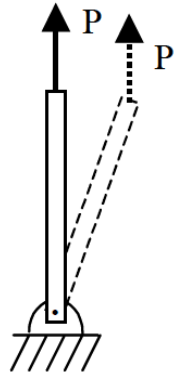
Fuerzas actuantes alejan de equilibrio



Equilibrio indiferente

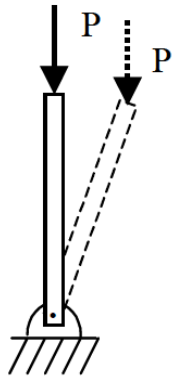
Fuerzas actuantes llevan a nuevo equilibrio

GENERALIDADES: TIPOS DE EQUILIBRIO



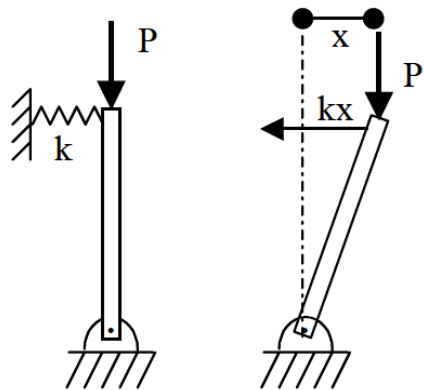
Equilibrio estable

Fuerzas actuantes devuelven a equilibrio



Equilibrio inestable

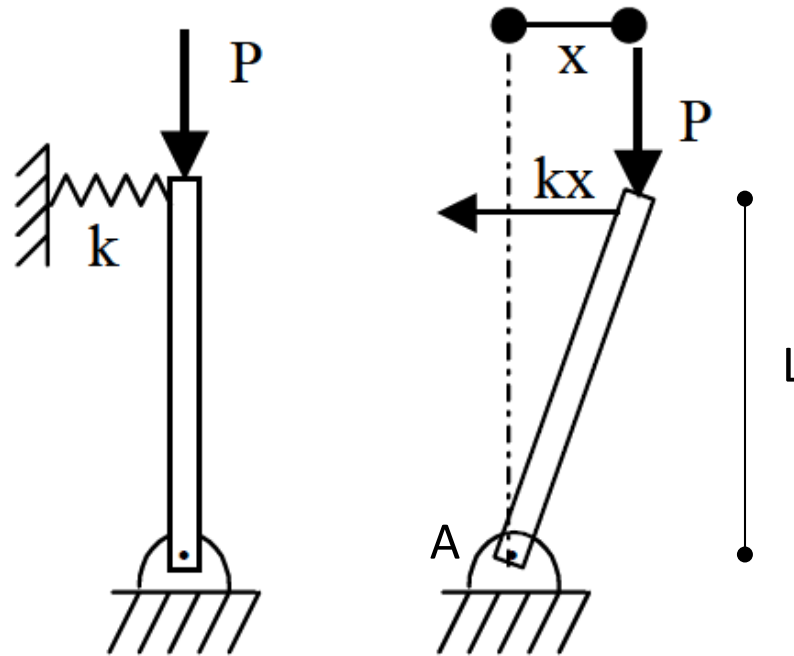
Fuerzas actuantes alejan de equilibrio



Equilibrio indiferente

Fuerzas actuantes llevan a nuevo equilibrio

GENERALIDADES: TIPOS DE EQUILIBRIO



Equilibrio indiferente $\rightarrow \Sigma M_A = 0 \rightarrow P \cdot x = kx \cdot L \rightarrow P = kL$

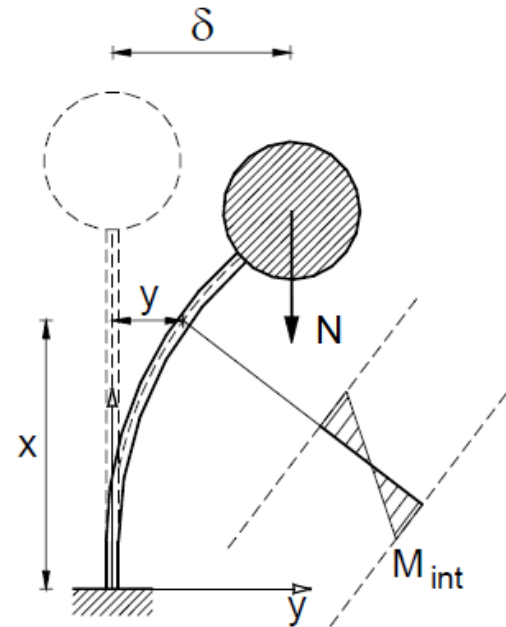
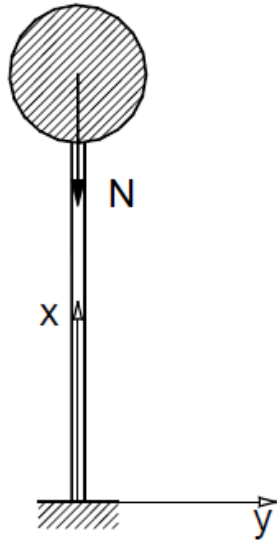
$P < kL \rightarrow$ Equilibrio estable

$P = kL \rightarrow$ Equilibrio indiferente

$P > kL \rightarrow$ Equilibrio inestable

INDEPENDIENTEMENTE DE x !!

GENERALIDADES: TIPOS DE EQUILIBRIO



$$M_{ext} = N \cdot (\delta - y)$$

$$M_{int} = E \cdot I \cdot \frac{d^2 y}{dx^2}$$

$$M_{ext} < M_{int} \Rightarrow \text{equilibrio estable}$$

$$M_{ext} > M_{int} \Rightarrow \text{equilibrio inestable}$$

$$M_{ext} = M_{int} \Rightarrow \text{equilibrio indiferente}$$

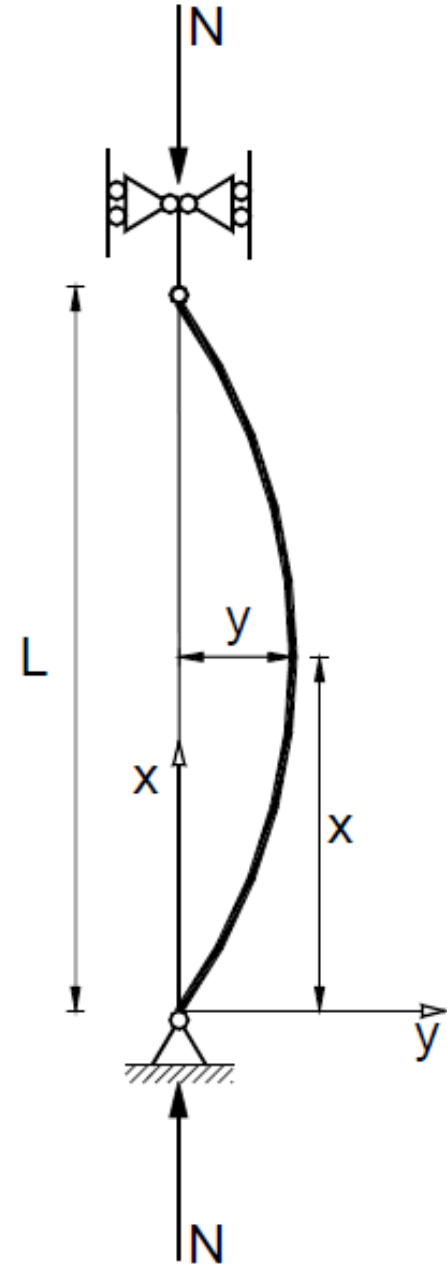
N_{cr} : Axil crítico (independiente de δ)

PANDEO DE EULER



Leonhard Euler (1707 – 1783)

$$e^{i\pi} + 1 = 0$$



PANDEO DE EULER

Momento exterior

$$M_{z,ext} = N \cdot y$$

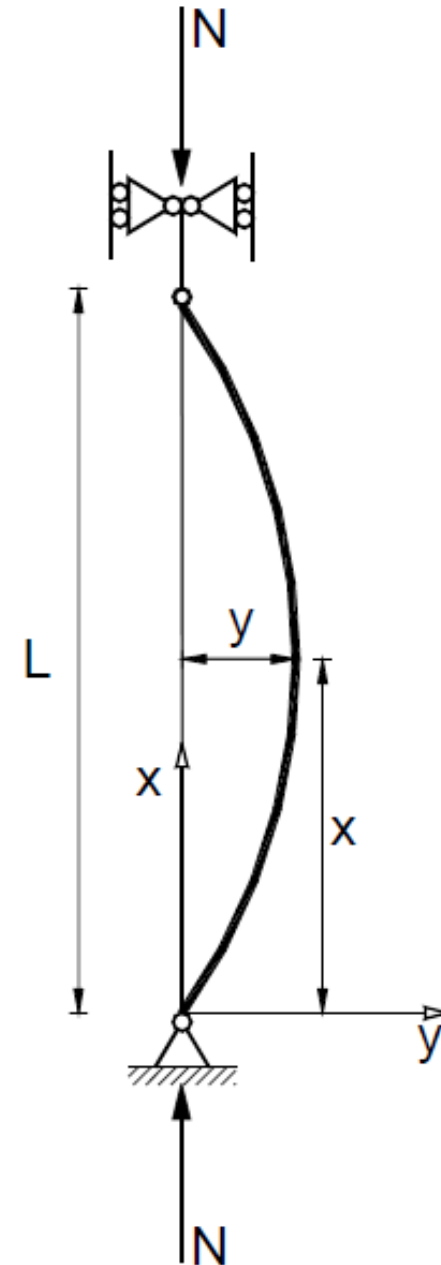
Momento interior

$$\frac{d^2 y}{dx^2} = - \frac{M_{z,int}}{E \cdot I_z}$$

Igualandando $M_{z,ext} = M_{z,int}$

$$\frac{d^2 y}{dx^2} = - \frac{N}{E \cdot I_z} \cdot y \quad k^2 = \frac{N}{E \cdot I_z}$$

$$y'' + k^2 \cdot y = 0$$



PANDEO DE EULER

$$y'' + k^2 \cdot y = 0$$

La solución es de la forma

$$y = C_1 \cdot \text{sen}(k \cdot x) + C_2 \cdot \text{cos}(k \cdot x)$$

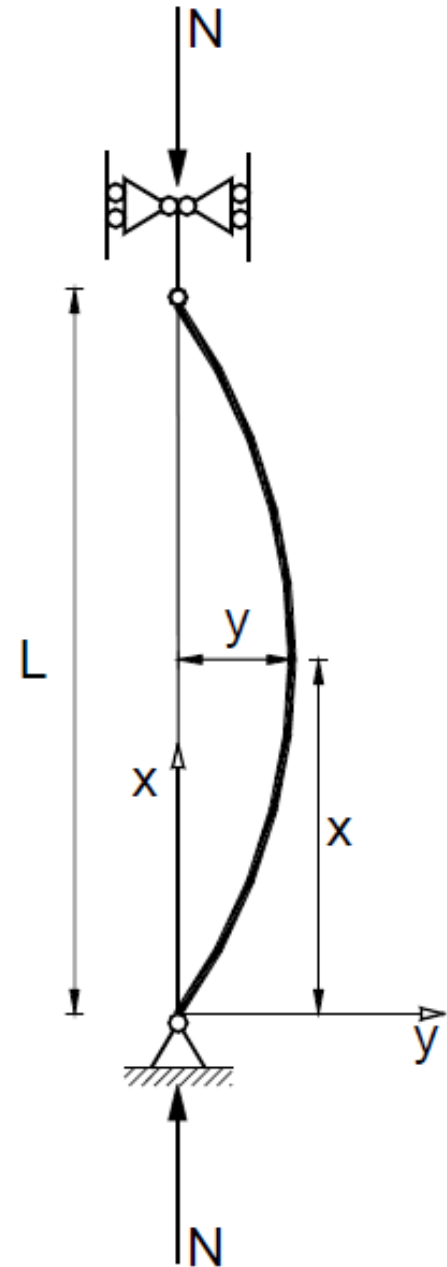
k es conocida; C_1 y C_2 a partir de contorno:

$$x = 0 \rightarrow y = 0 \Rightarrow C_2 = 0$$

$$x = L \rightarrow y = 0 \Rightarrow C_1 \cdot \text{sen}(k \cdot L) = 0$$

$$C_1 = 0 \quad \text{ó} \quad \text{sen}(k \cdot L) = 0$$

$$y = 0 \quad k \cdot L = n \cdot \pi$$



PANDEO DE EULER

$$y'' + k^2 \cdot y = 0$$

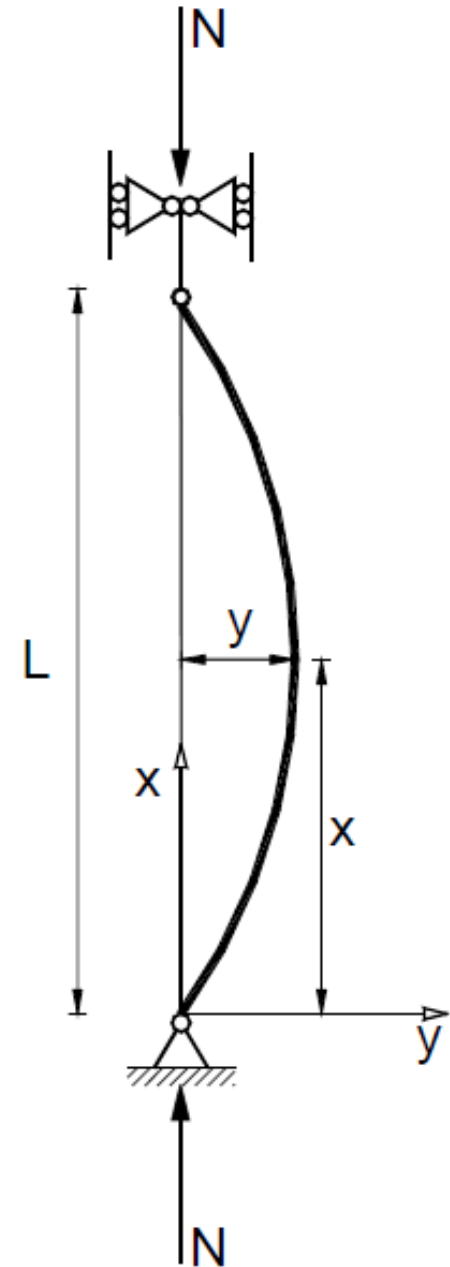
$$y = C_1 \cdot \text{sen}(k \cdot x) + C_2 \cdot \text{cos}(k \cdot x)$$

$$C_2 = 0$$

$$y = C_1 \cdot \text{sen}(k \cdot x)$$

$$k \cdot L = n \cdot \pi$$

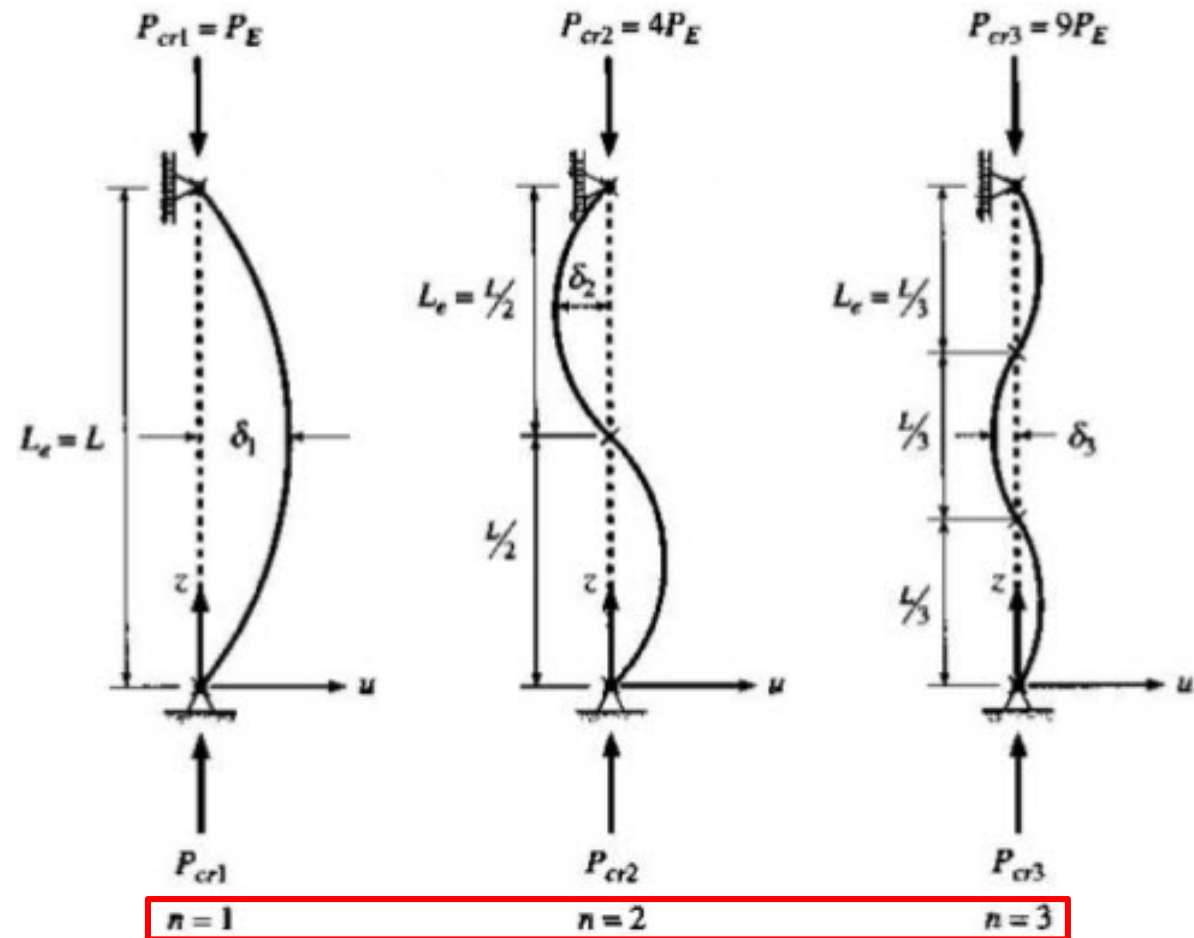
$$y = C_1 \cdot \text{sen}(n \cdot \pi \cdot x/L)$$



PANDEO DE EULER

$$y = C_1 \cdot \text{sen}(n \cdot \pi \cdot x/L)$$

Modos de pandeo:
dando valores a n
 $n = 1, 2, \dots$



PANDEO DE EULER

Cada modo de pandeo está en equilibrio con un axil N distinto

$$y'' + k^2 \cdot y = 0$$

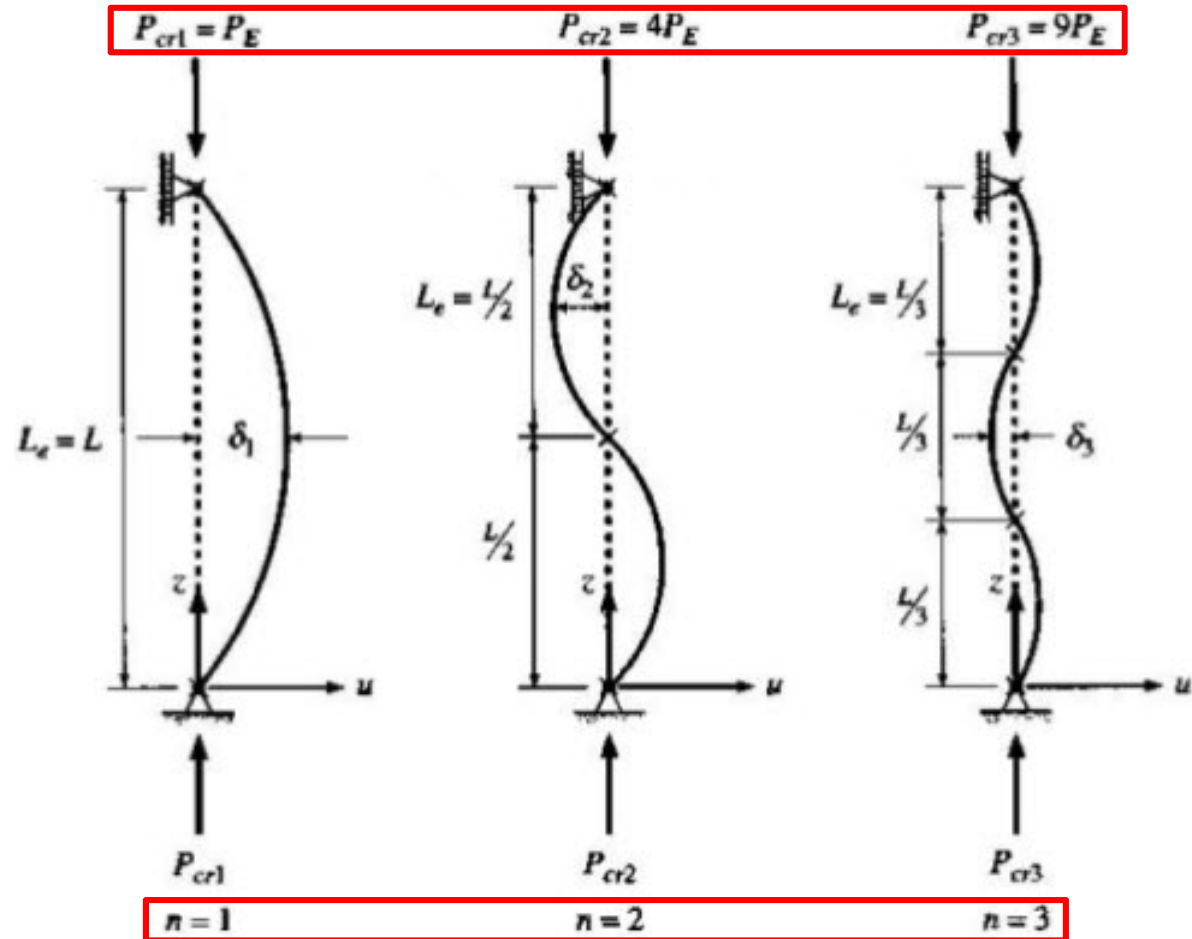
$$k^2 = \frac{N}{E \cdot I_z}$$

$$k \cdot L = n \cdot \pi$$



$$N = n^2 \cdot \frac{\pi^2 \cdot E \cdot I_z}{L^2}$$

Axil de pandeo del modo n

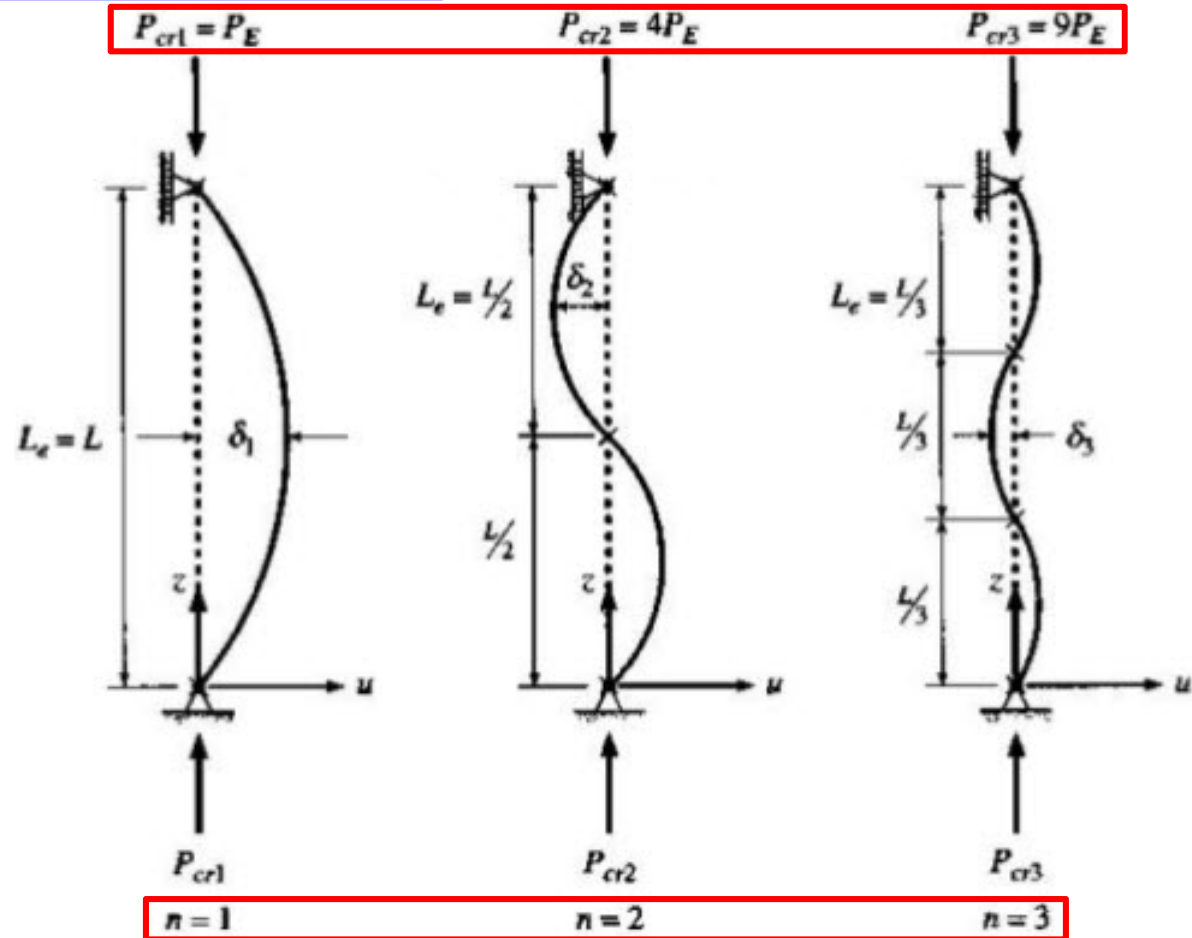
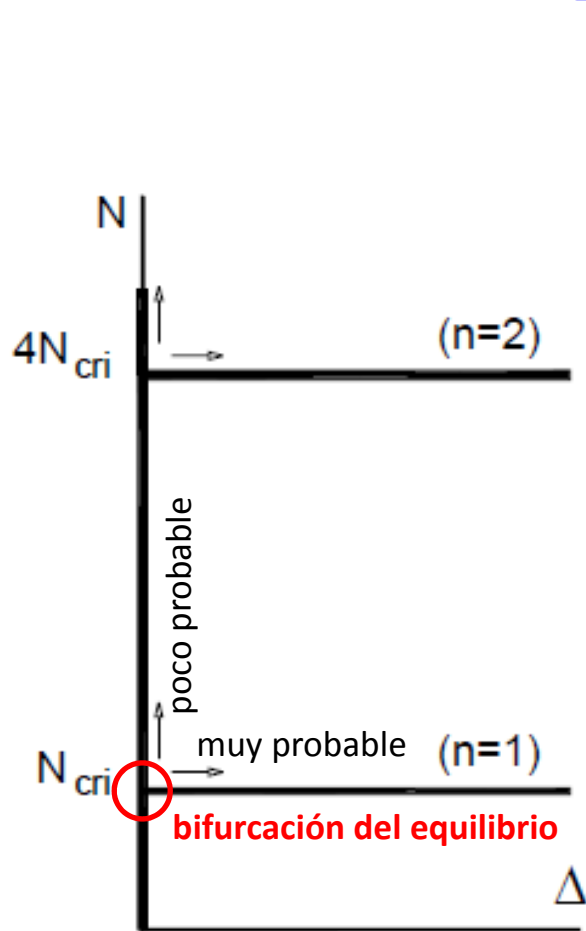


PANDEO DE EULER

$$N = n^2 \cdot \frac{\pi^2 \cdot E \cdot I_z}{L^2}$$

$$N_{cr} = \frac{\pi^2 \cdot E \cdot I_z}{L^2}$$

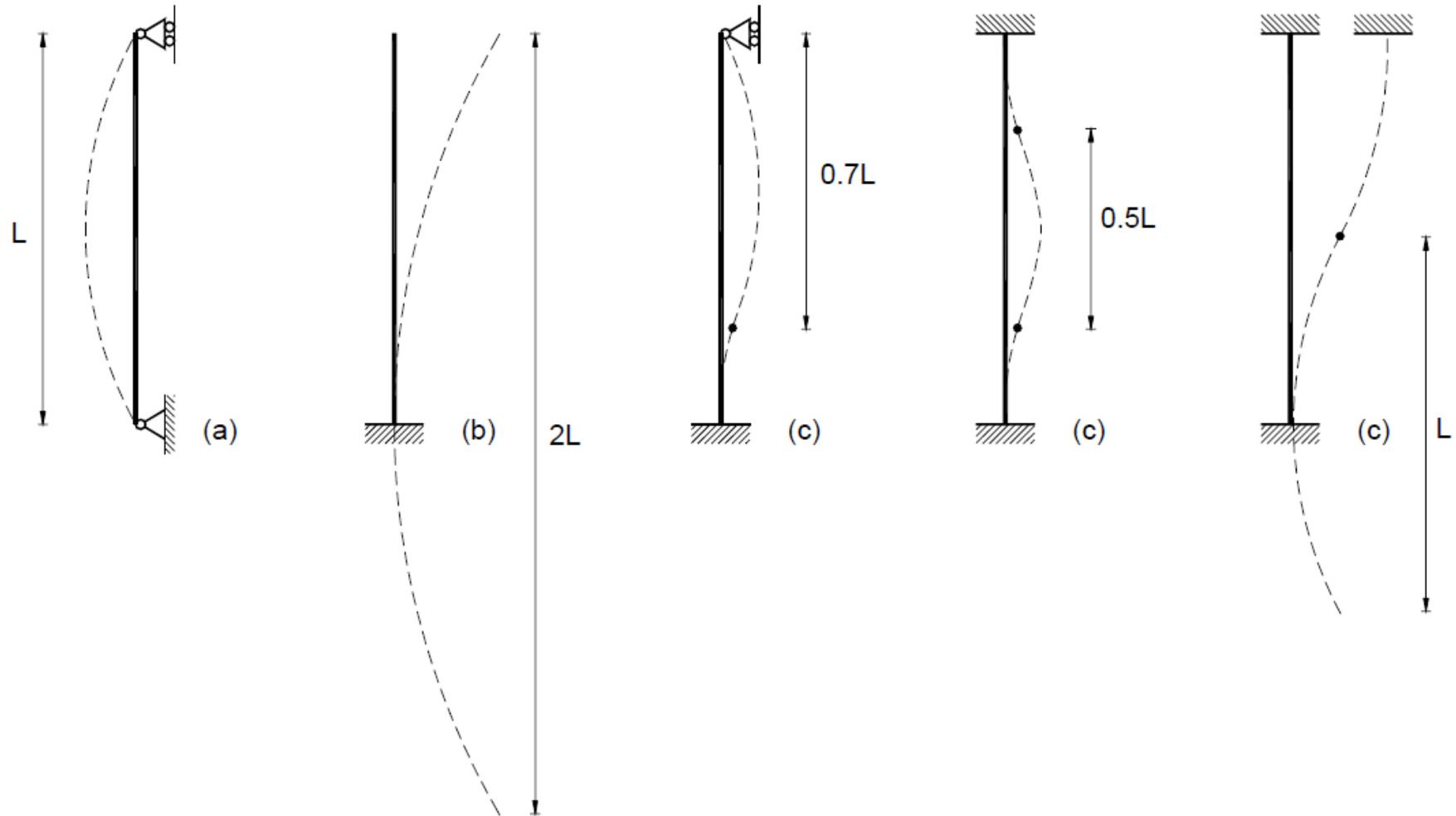
CARGA CRÍTICA DE PANDEO



PANDEO DE EULER

Longitud de pandeo:

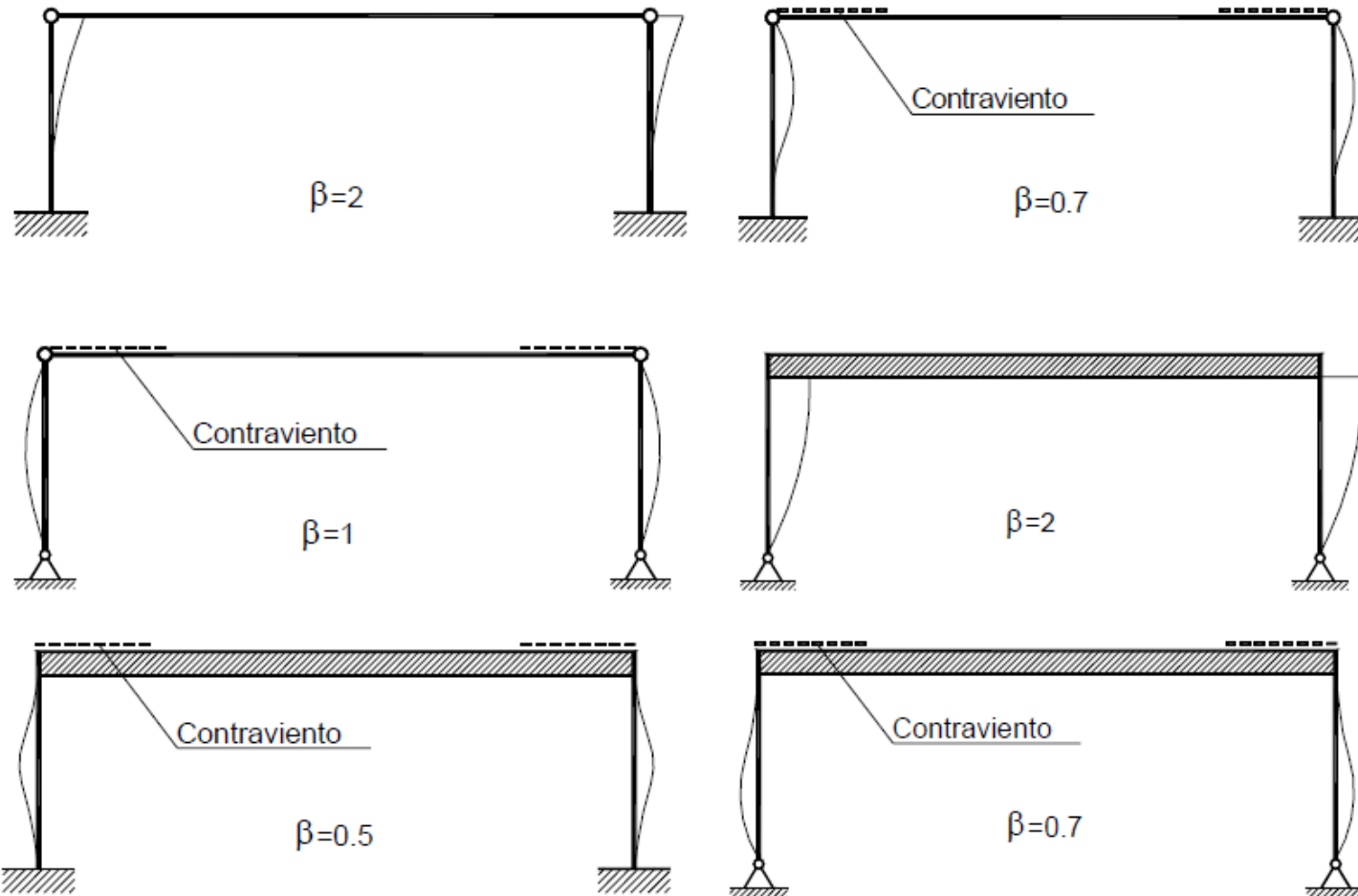
Longitud de la barra biarticulada equivalente con igual carga crítica



PANDEO DE EULER

Longitud de pandeo:

Longitud de la barra biarticulada equivalente con igual carga crítica



PANDEO DE EULER

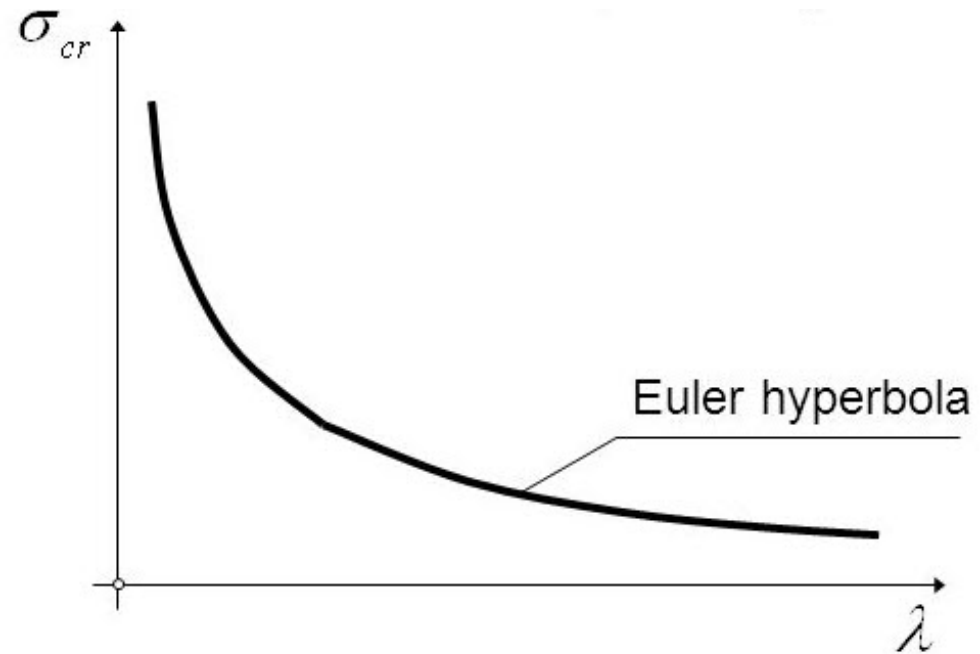
$$N_{cr} = \frac{\pi^2 \cdot E \cdot I_z}{L^2}$$

$$\sigma_{cr} = N_{cr} / A$$

$$\sigma_{cr} = \frac{\pi^2 \cdot E \cdot I_z}{L^2 \cdot A}$$

$$\sigma_{cr} = \frac{\pi^2 \cdot E}{L^2} \cdot i_z^2 = \frac{\pi^2 \cdot E}{(L/i_z)^2}$$

$$\sigma_{cr} = \frac{\pi^2 \cdot E}{\lambda_z^2}$$



Esbeltez mecánica

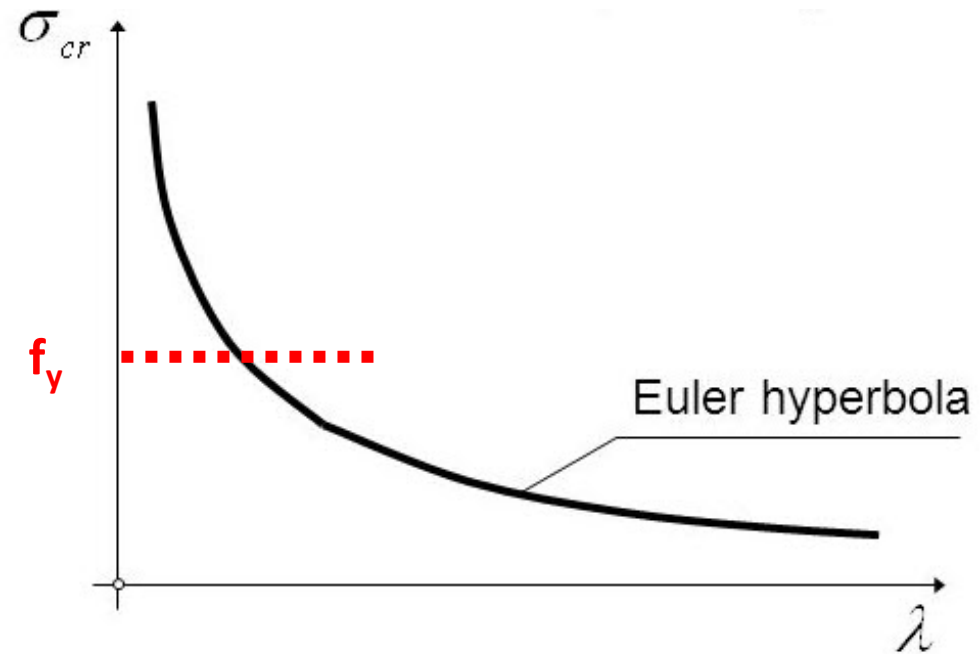
$$\lambda = L/i$$

PANDEO DE EULER

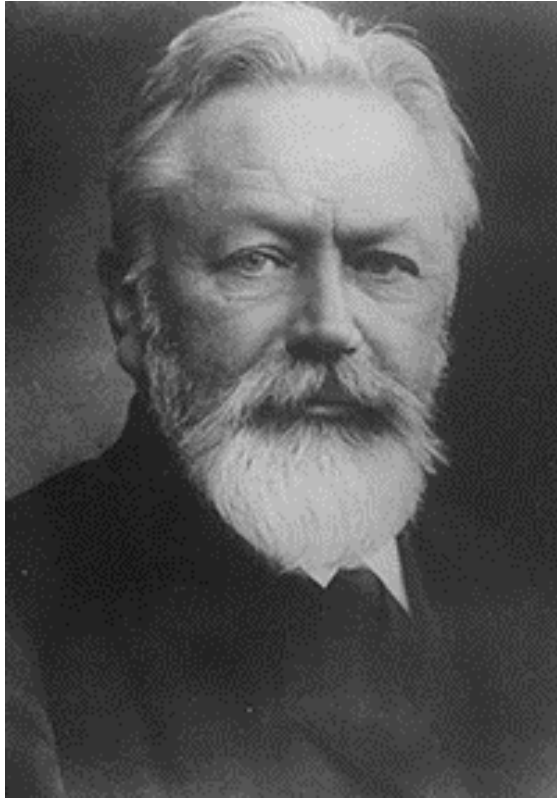
Para bajas esbelteces, tensión crítica sería infinita.

IMPOSIBLE

Plastificación del material



PANDEO DE ENGESSER

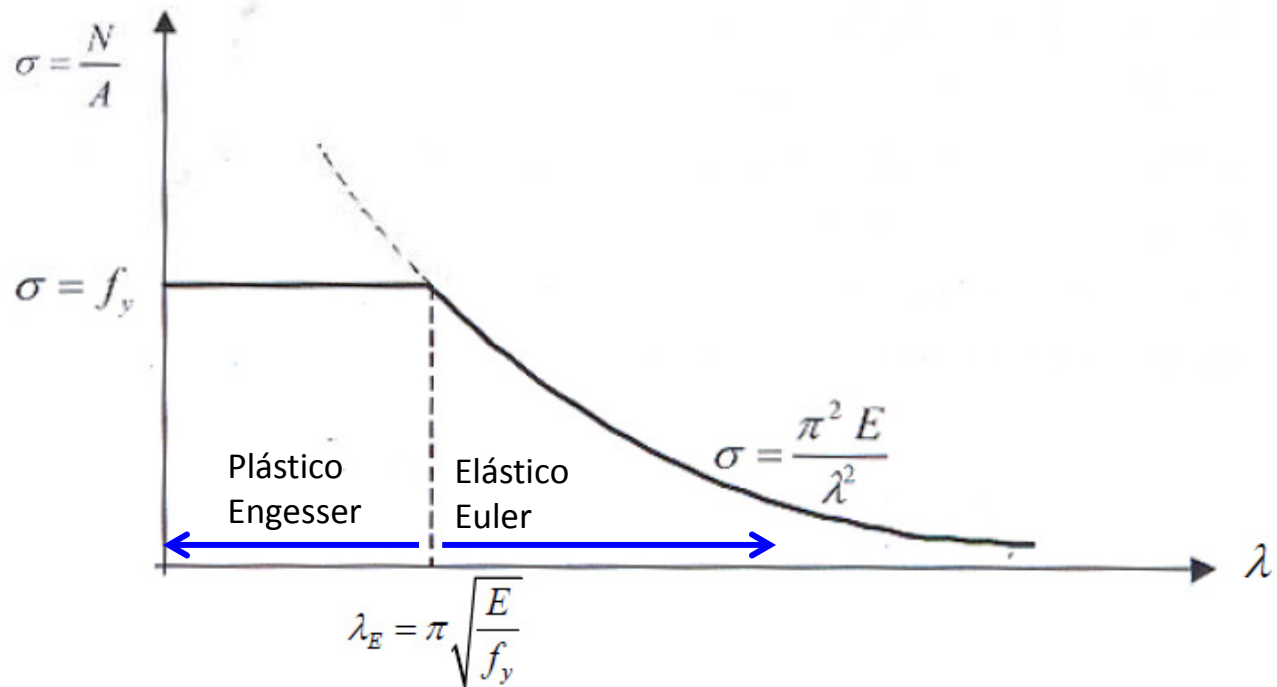


Friedrich Engesser (1848 – 1931)

PANDEO DE ENGESSER

$$\sigma_{cr} = \frac{\pi^2 \cdot E}{\lambda_z^2}$$

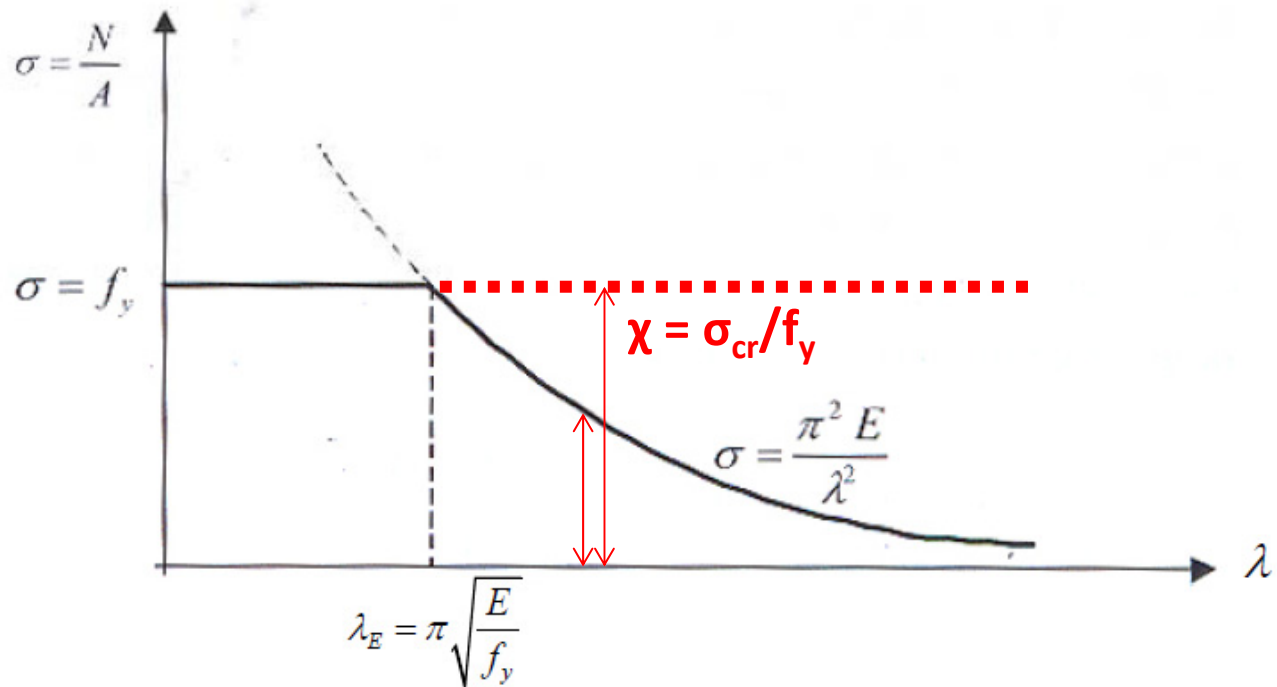
$$\sigma_p = \frac{\pi^2 \cdot E}{\lambda_{z,R}^2} \Rightarrow \lambda_{z,R} = \sqrt{\frac{\pi^2 \cdot E}{\sigma_p}} \quad \text{Esbeltez límite}$$



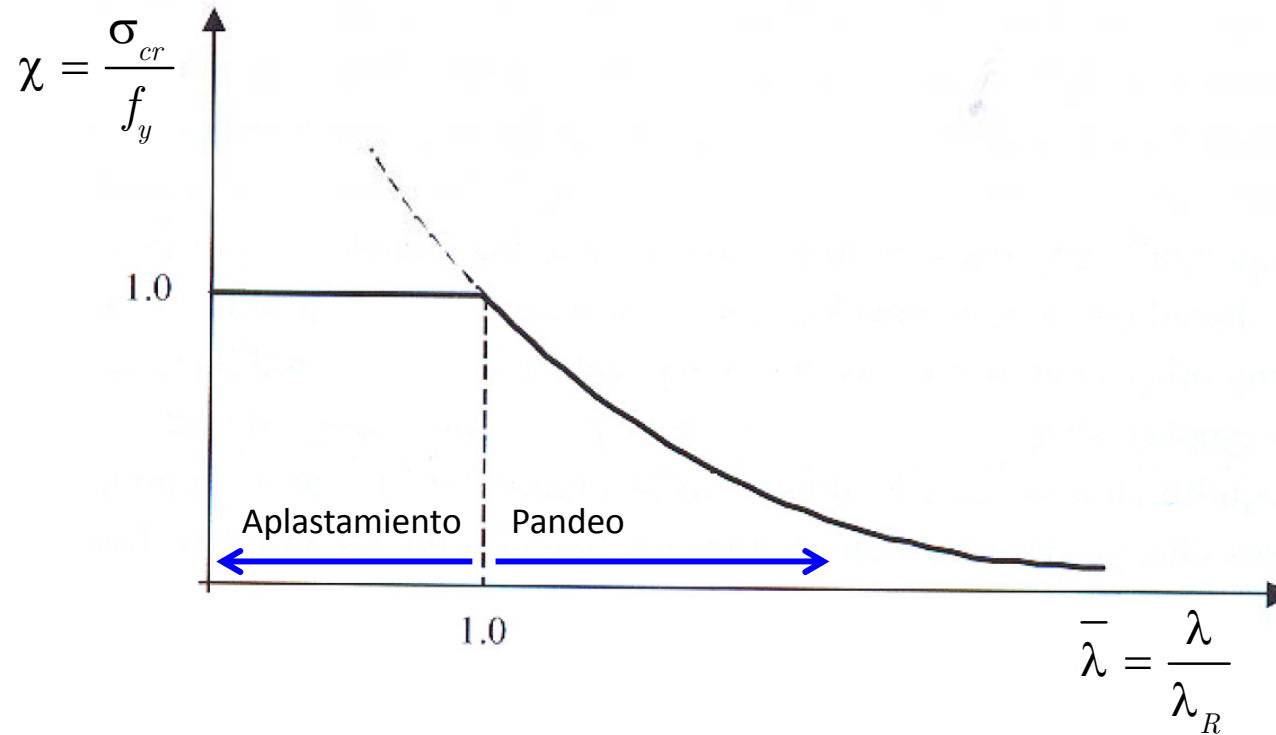
PANDEO DE ENGESSER

$$\sigma_{cr} = \frac{\pi^2 \cdot E}{\lambda_z^2}$$

$$\sigma_p = \frac{\pi^2 \cdot E}{\lambda_{z,R}^2} \Rightarrow \lambda_{z,R} = \sqrt{\frac{\pi^2 \cdot E}{\sigma_p}} \quad \text{Esbeltez límite}$$



PANDEO DE ENGESSER



χ : Coeficiente reductor por pandeo

PANDEO DE ENGESSER

Condición de resistencia a compresión simple:

$$N_{Ed} \leq N_{pl,Rd}$$

$$N_{pl,Rd} = A \cdot f_{yd}$$

Resistencia a compresión reducida por pandeo:

$$N_{b,Rd} = \chi \cdot N_{pl,Rd}$$

Luego χ es la razón entre el axil resistido con pandeo y sin pandeo:

$$\chi = N_{b,Rd} / N_{pl,Rd}$$

PANDEO REAL

Peor comportamiento que en la teoría



Teoría



Realidad

PANDEO REAL

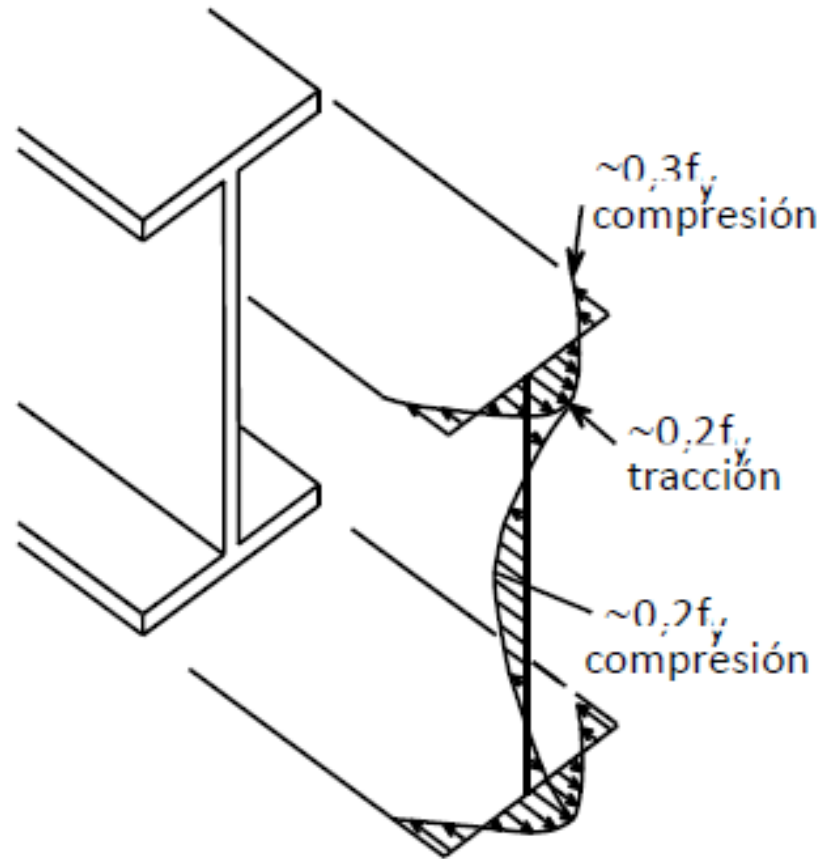
Peor comportamiento que en la teoría

Causas:

- 1) Tensiones residuales
- 2) Imperfecciones del material
- 3) Imperfecciones geométricas → EXCENTRICIDAD
- 4) Variación de posición de acciones → EXCENTRICIDAD

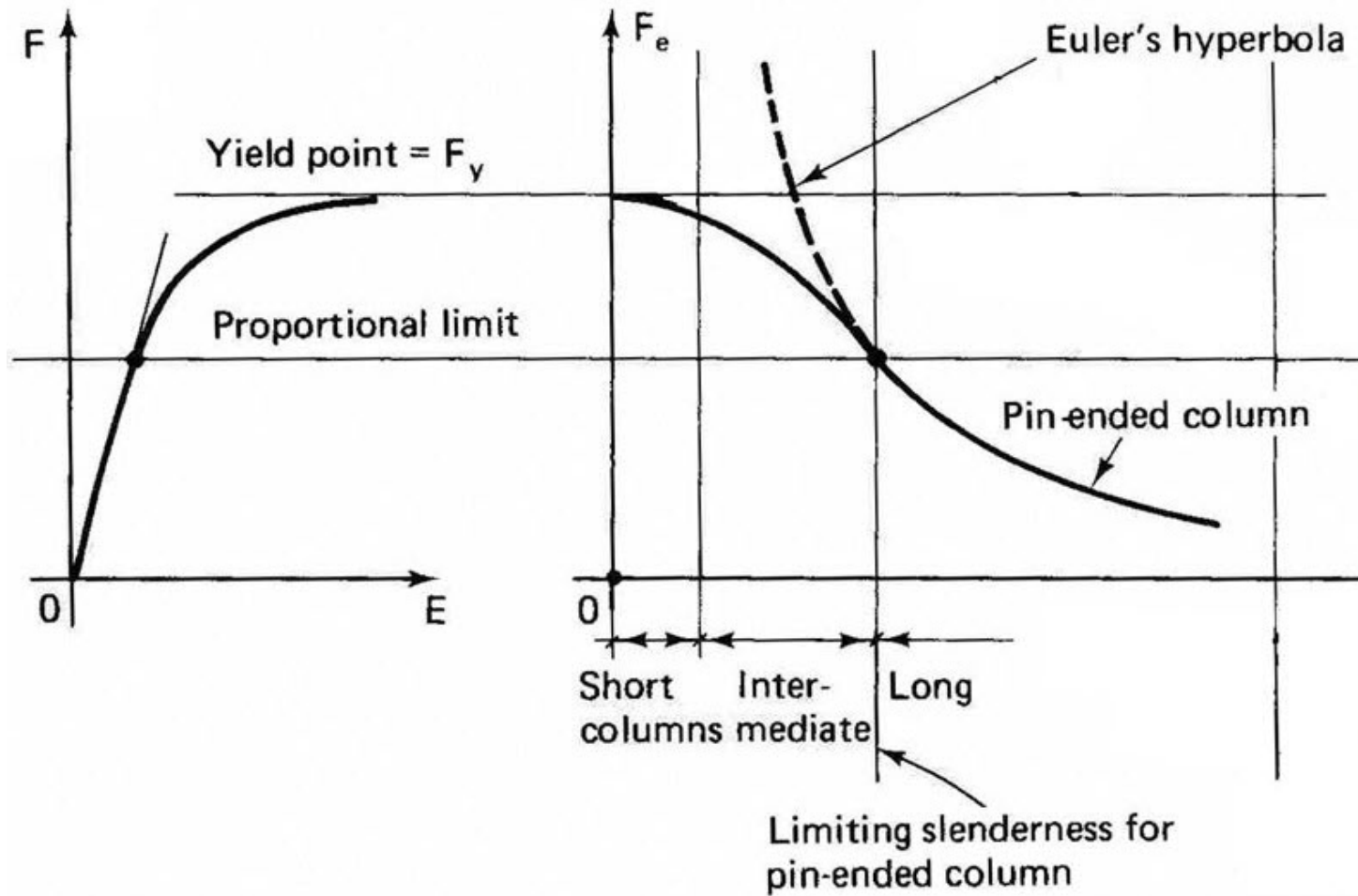
PANDEO REAL

1) Tensiones residuales



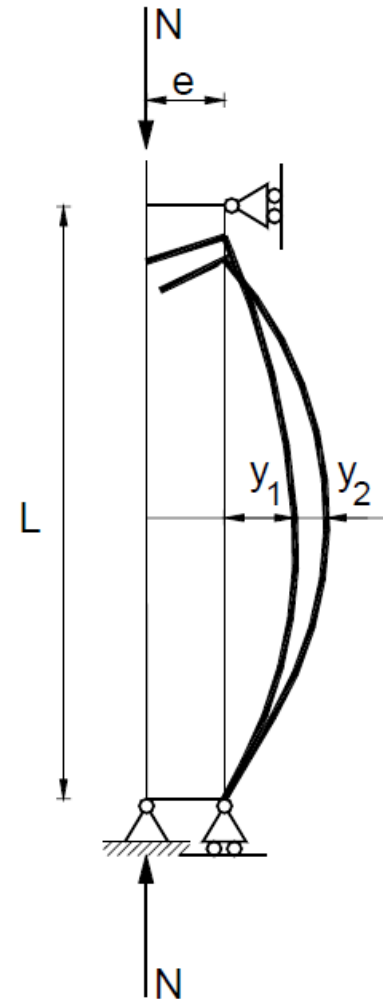
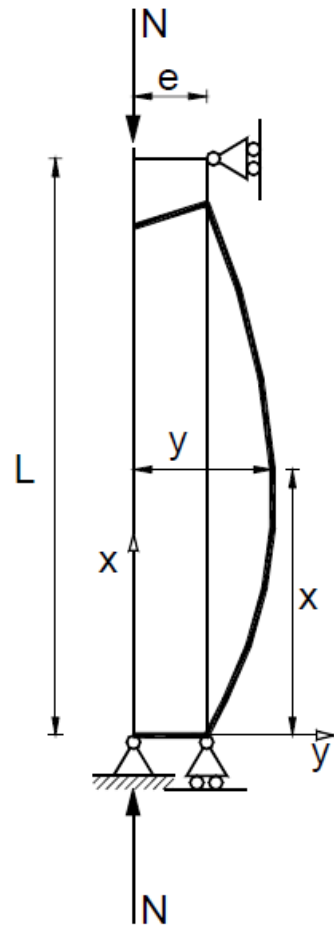
PANDEO REAL

2) Imperfecciones del material (y degradación progresiva, no súbita)



PANDEO REAL


- 3) Imperfecciones geométricas → EXCENTRICIDAD
- 4) Variación de posición de acciones → EXCENTRICIDAD



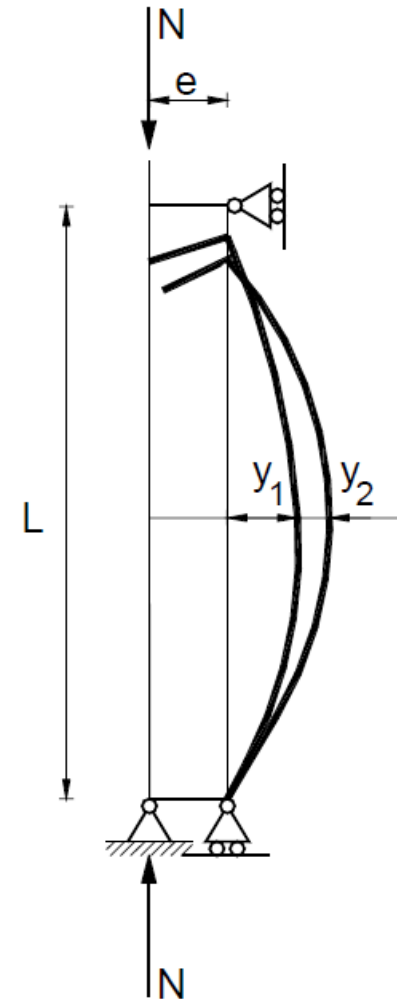
PANDEO REAL

- 3) Imperfecciones geométricas → EXCENTRICIDAD
- 4) Variación de posición de acciones → EXCENTRICIDAD

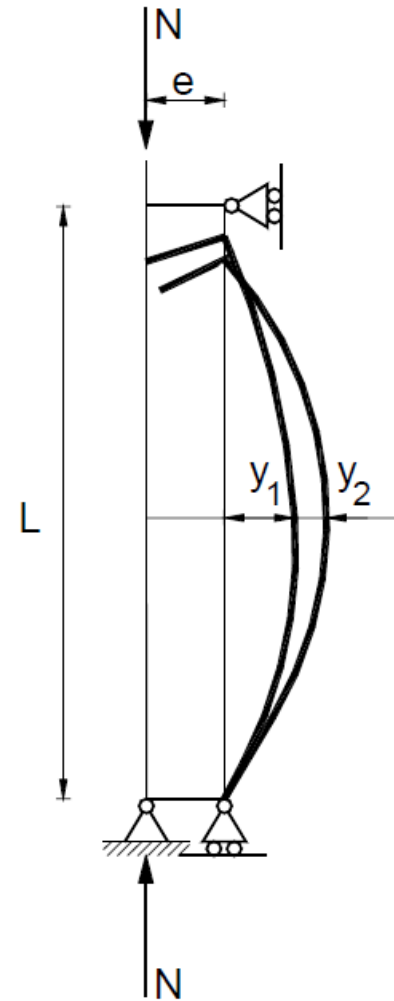
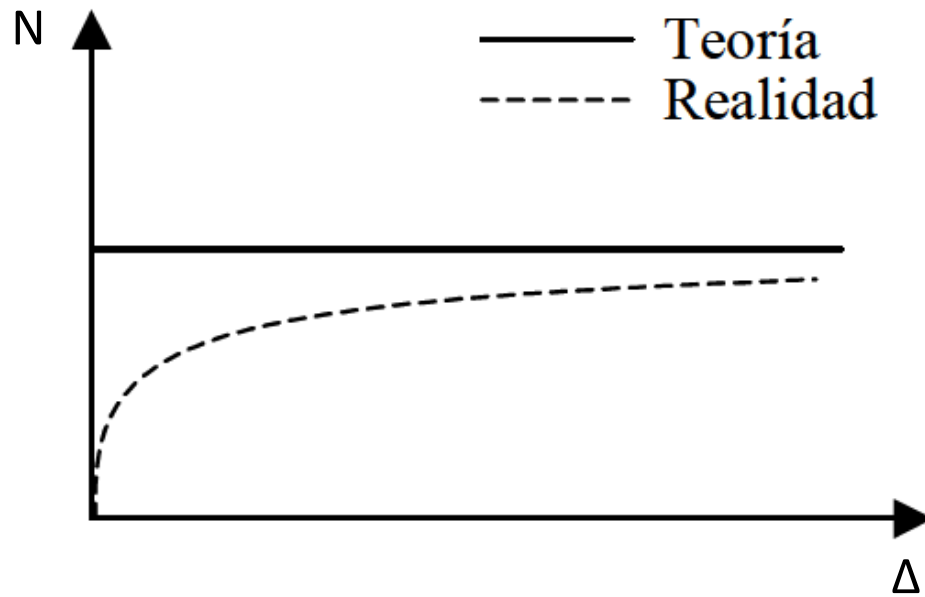
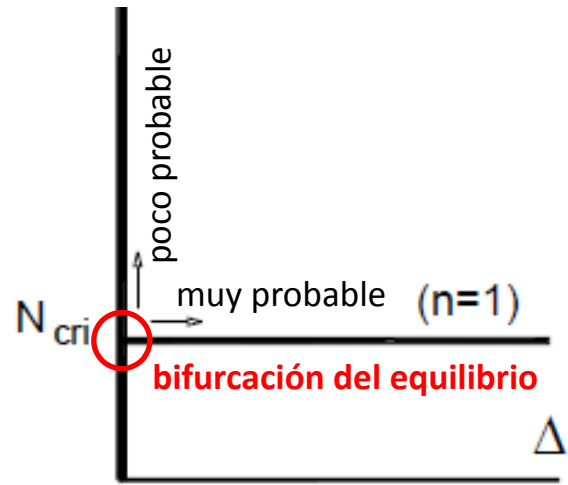
Pandeo + FLEXIÓN INICIAL

 Excentricidad del axil causa flexión →
→ Flexión causa flecha y_1 →
→ Flecha aumenta la excentricidad del axil
.....

$$\sum y = y_1 + y_2 + \dots$$



PANDEO REAL



PANDEO REAL

$$\sum y = y_1 + y_2 + \dots$$

Serie converge \rightarrow Equilibrio estable \rightarrow **NO PANDEA**

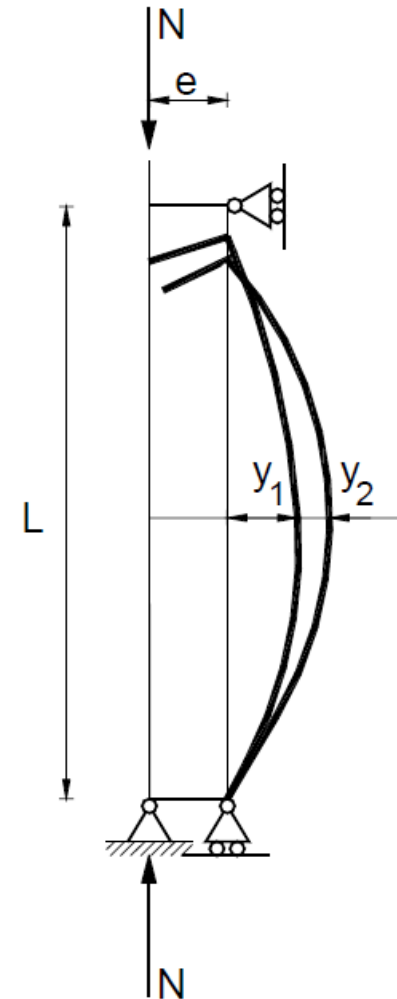
Serie no converge \rightarrow Equilibrio inestable \rightarrow **PANDEA**

¿Cuándo deja de converger? Con axil elevado

Modelo de amplificación de momento

$$M_{max} = \frac{\eta}{\eta - 1} \cdot M_0$$

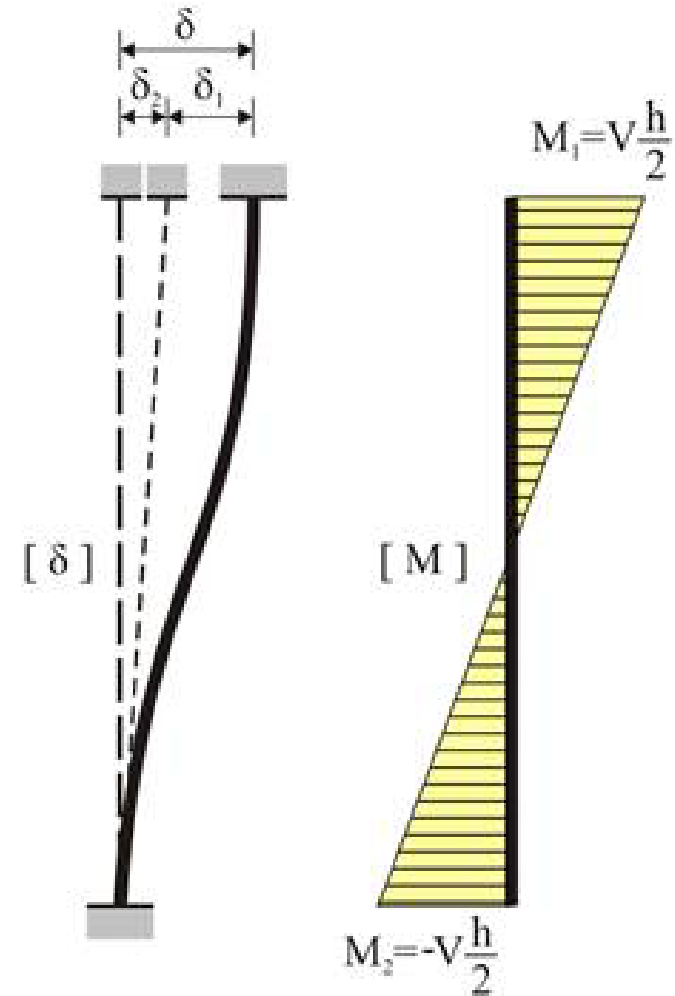
$$\eta = N_{cr} / N$$



PANDEO REAL

Para otras distribuciones de momentos (no constantes en la barra), se toma MOMENTO EQUIVALENTE

$$M_{eq} = 0,6 \cdot M_2 + 0,4 \cdot M_1 \geq 0,4 \cdot M_1$$



PANDEO REAL

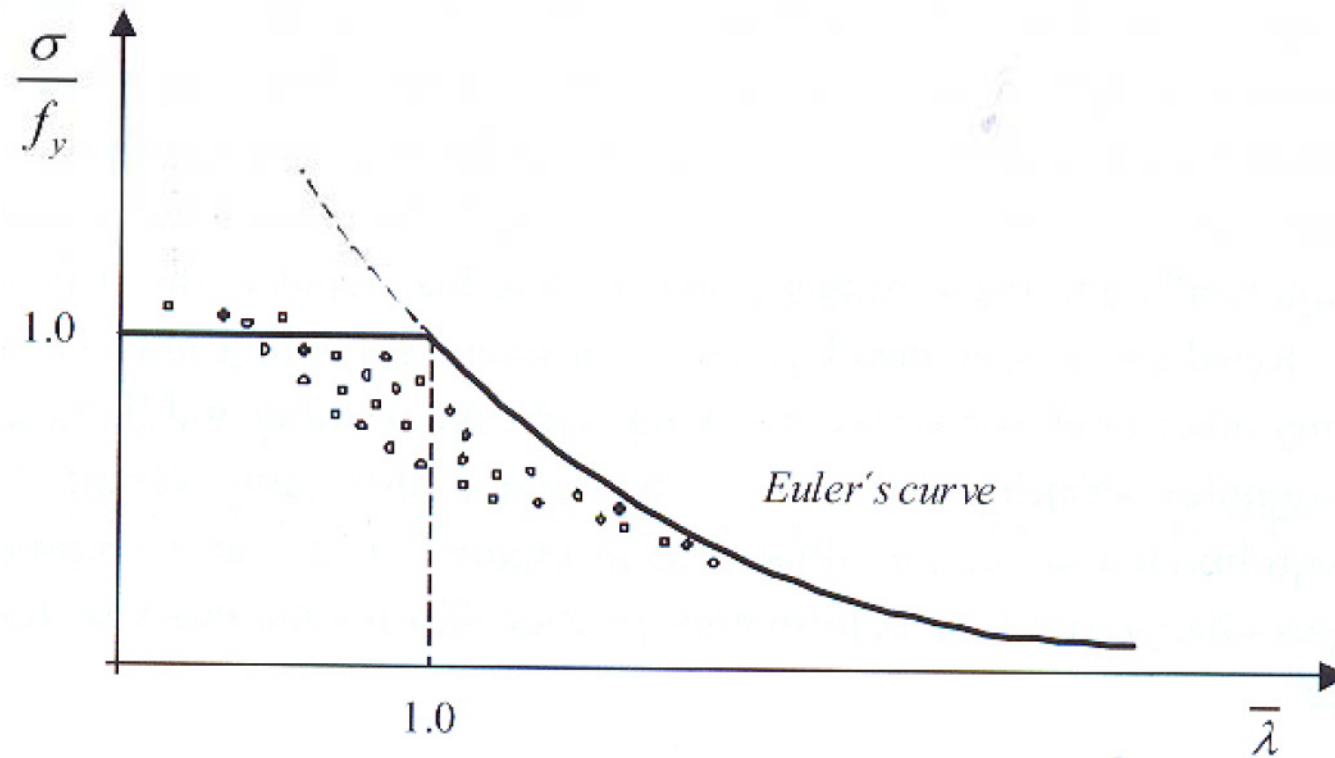
Peor comportamiento que en la teoría

Causas:

- 1) Tensiones residuales
- 2) Imperfecciones del material
- 3) Imperfecciones geométricas → EXCENTRICIDAD
- 4) Variación de posición de acciones → EXCENTRICIDAD

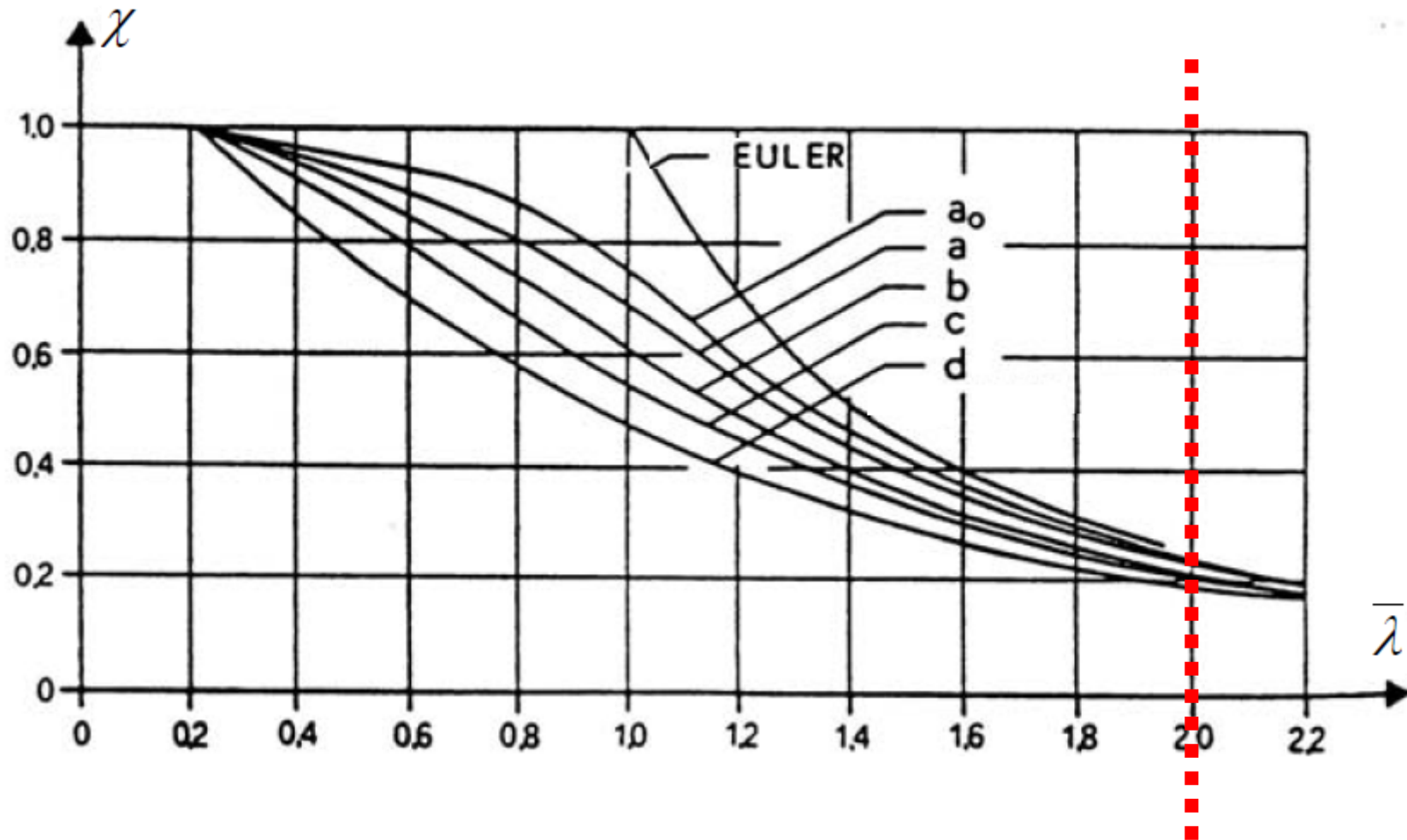
PANDEO REAL

Estudio experimental:
Curvas europeas de pandeo



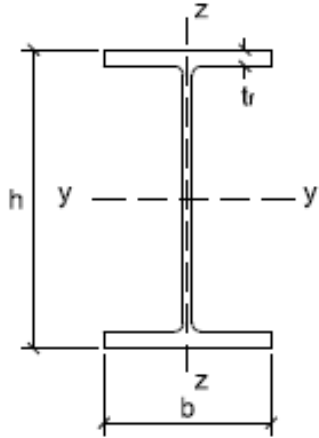
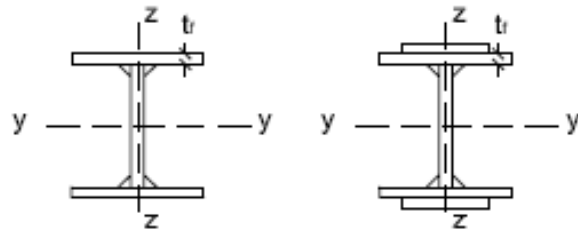

PANDEO REAL

Estudio experimental:
Curvas europeas de pandeo



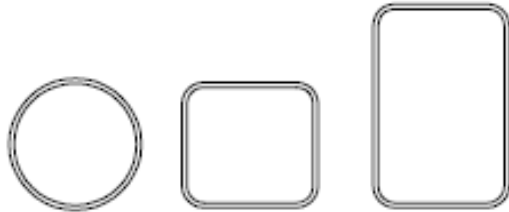
PANDEO REAL

Tabla 6.2 Curva de pandeo en función de la sección transversal

Tipo de sección	Tipo de acero		S235 a S355		S450	
	Eje de pandeo ⁽¹⁾		y	z	y	z
Perfiles laminados en I 	$h/b > 1,2$	$t \leq 40 \text{ mm}$	a	b	a_0	a_0
		$40 \text{ mm} < t \leq 100 \text{ mm}$	b	c	a	a
	$h/b \leq 1,2$	$t \leq 100 \text{ mm}$	b	c	a	a
		$t > 100 \text{ mm}$	d	d	c	c
Perfiles armados en I 		$t \leq 40 \text{ mm}$	b	c	b	c
		$t > 40 \text{ mm}$	c	d	c	d
Agrupación de perfiles laminados soldados 			c	c	c	c

PANDEO REAL

Tubos de chapa simples o agrupados



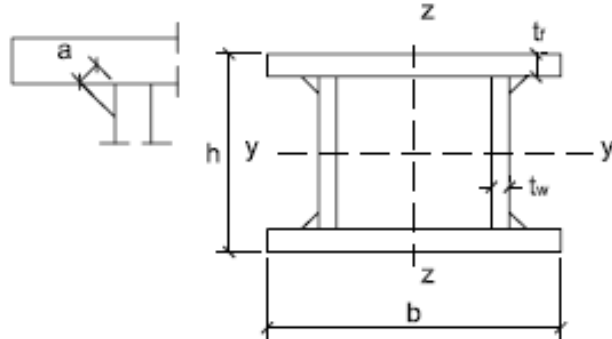
laminados en caliente

a a a₀ a₀

conformados en frío

c c c c

Perfiles armados en cajón ⁽²⁾



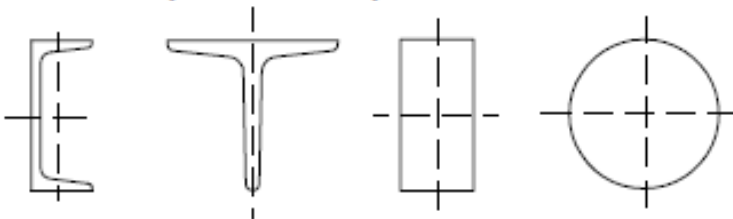
soldadura gruesa:
 $a/t > 0,5$ $b/t < 30$ $h/t_w < 30$

c c c c

en otro caso

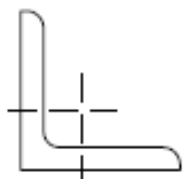
b b b b

Perfiles simples U, T, chapa, redondo macizo



c c c c

Perfiles L



b b b b

DIMENSIONADO PILARES CTE: RESISTENCIA

A) Compresión simple (§6.2.5):

$$N_{Ed} \leq N_{pl,Rd}$$

B) Flexocompresión ($N + M_y + M_z$):

B.1 – Cortante (§6.2.4):

$$V_{Ed} \leq V_{pl,Rd}$$

B.2 – Interacción V – (M – N) (§6.2.8.3):

$$V_{Ed} \leq 0.5 \cdot V_{pl,Rd} \rightarrow \text{No hay interacción}$$

B.3 – Flexocompresión (§6.2.8.1.c):

$$\frac{N_{Ed}}{N_{pl,Rd}} + \frac{M_{y,Ed}}{M_{y,pl,Rd}} + \frac{M_{z,Ed}}{M_{z,pl,Rd}} \leq 1$$

DIMENSIONADO PILARES CTE: PANDEO

A) Compresión simple (§6.3.2.1):

$$N_{Ed} \leq \chi_{min} \cdot N_{pl,Rd}$$

↑
Curva de pandeo (Tabla 6.2)

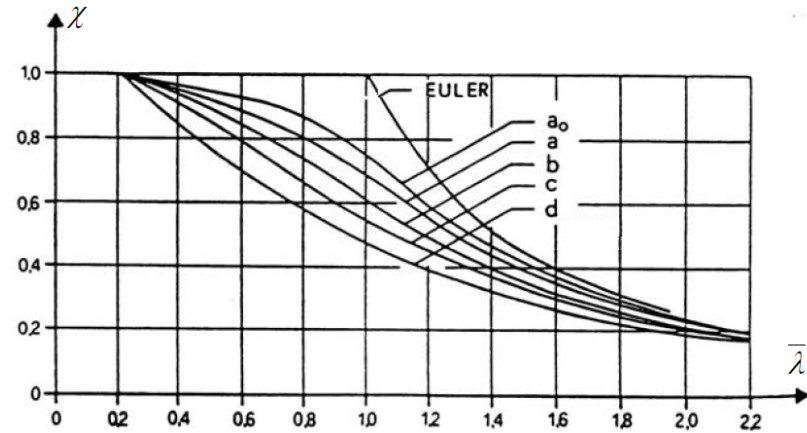
Esbeltez adimensional $\bar{\lambda} = \lambda/\lambda_R$

↑
Esbeltez reducida λ_R

Esbeltez $\lambda = L_k/i$

↑
Radio de giro i

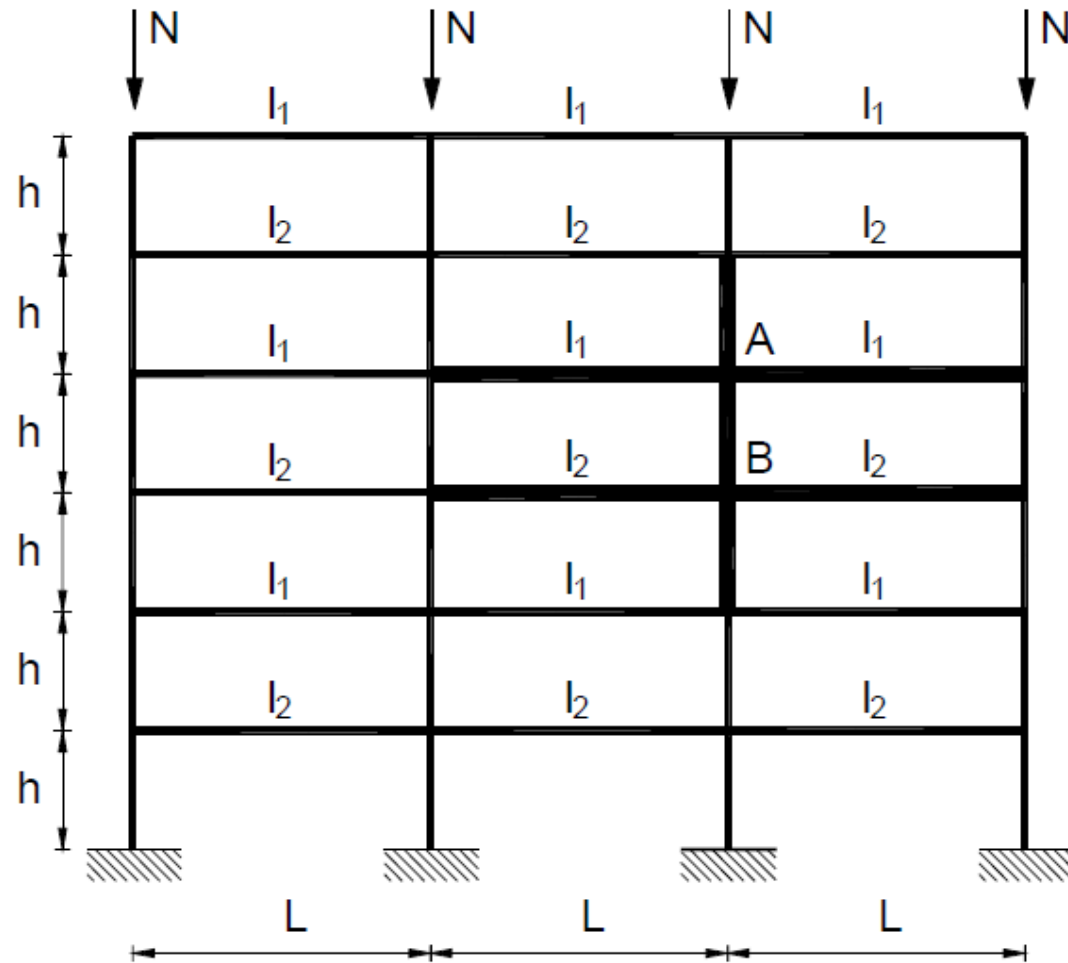
↑
Longitud de pandeo $L_k = \beta \cdot L$



DIMENSIONADO PILARES CTE: PANDEO

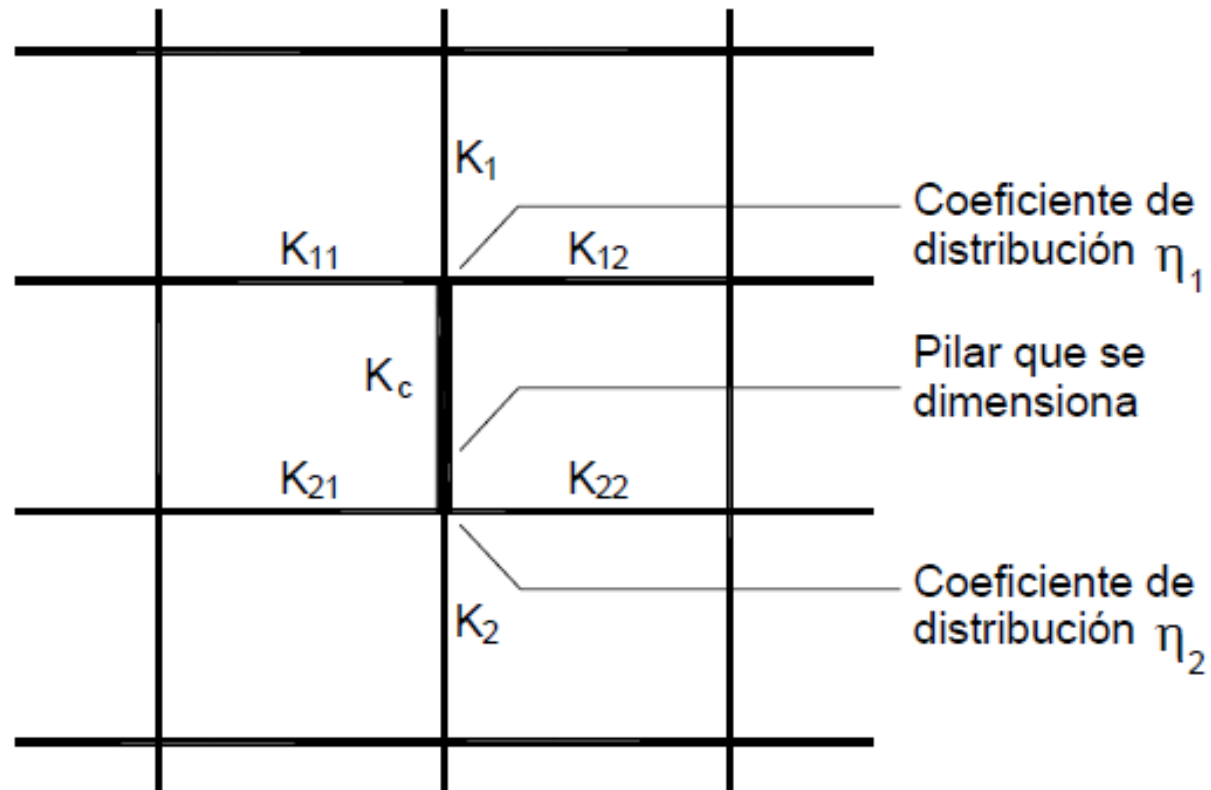
LONGITUD DE PANDEO NO CANÓNICA (§6.3.2.5.3):

Pórticos de nudos rígidos



DIMENSIONADO PILARES CTE: PANDEO

LONGITUD DE PANDEO NO CANÓNICA (§6.3.2.5.3):
Pórticos de nudos rígidos

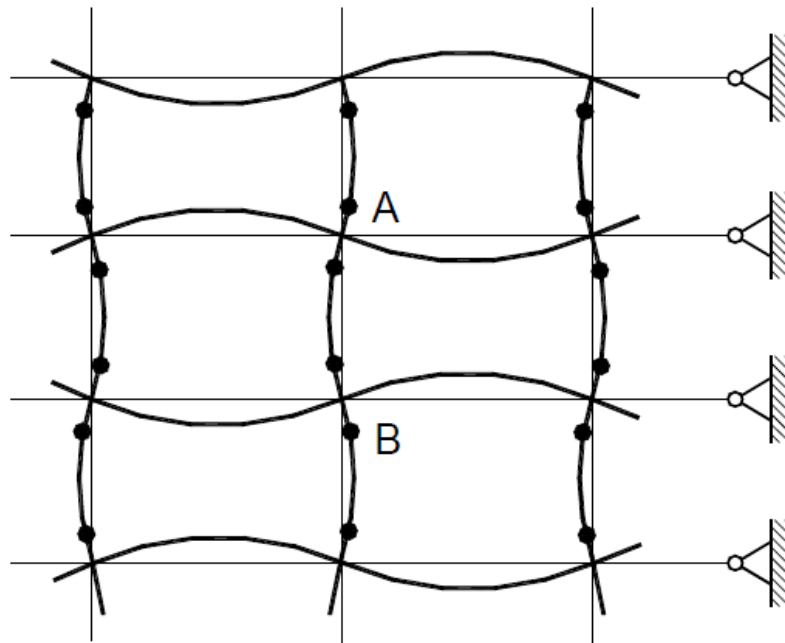


$$\eta_1 = \frac{K_c + K_1}{K_c + K_1 + K_{11} + K_{12}} \quad \text{y} \quad \eta_2 = \frac{K_c + K_2}{K_c + K_2 + K_{21} + K_{22}}$$

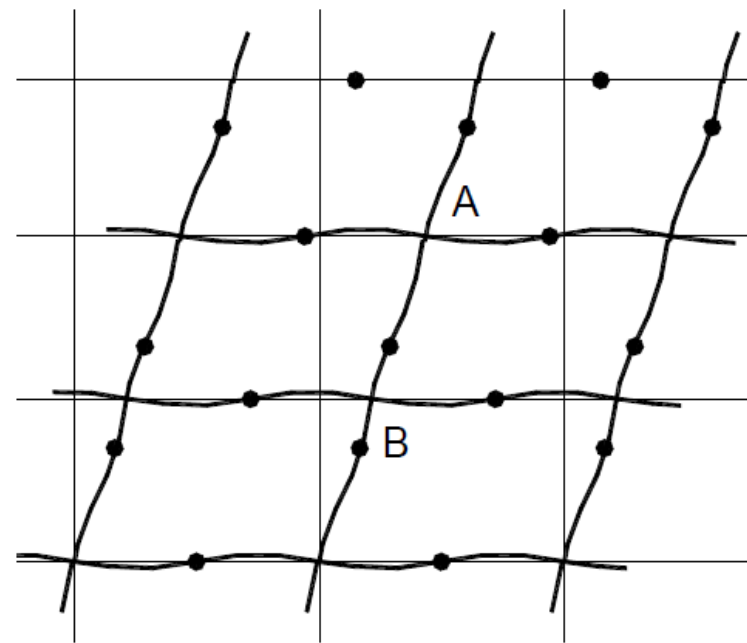
DIMENSIONADO PILARES CTE: PANDEO

LONGITUD DE PANDEO NO CANÓNICA (§6.3.2.5.3):

Pórticos de nudos rígidos



Intraslacional

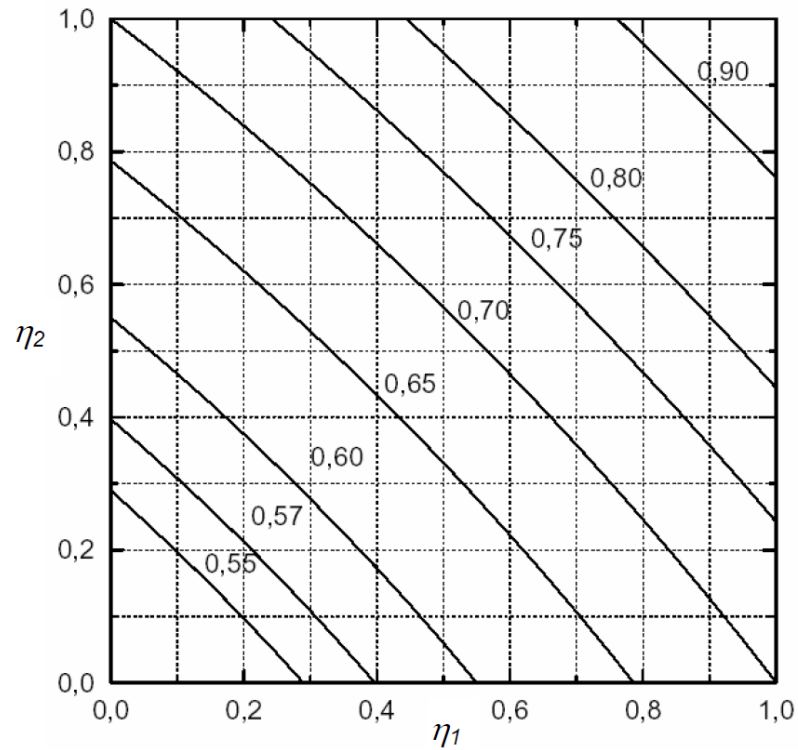


Traslacional

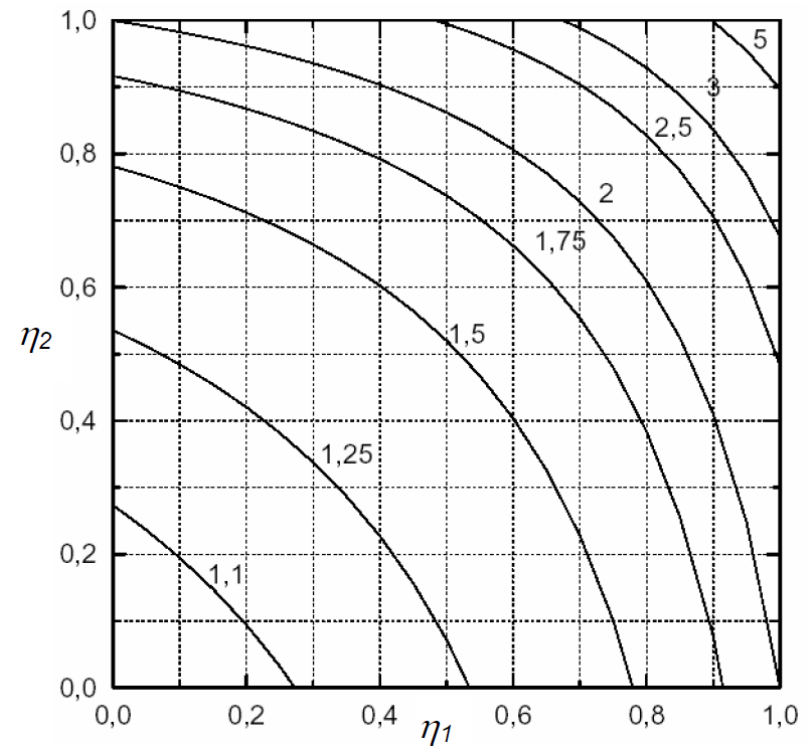
DIMENSIONADO PILARES CTE: PANDEO

LONGITUD DE PANDEO NO CANÓNICA (§6.3.2.5.3):

Pórticos de nudos rígidos



Intraslacional
 $0.5 \leq \beta \leq 1$



Traslacional
 $1 \leq \beta < \infty$

DIMENSIONADO PILARES CTE: RESISTENCIA

A) Compresión simple (§6.2.5):

$$N_{Ed} \leq N_{pl,Rd}$$

B) Flexocompresión ($N + M_y + M_z$):

B.1 – Cortante (§6.2.4):

$$V_{Ed} \leq V_{pl,Rd}$$

B.2 – Interacción V – (M – N) (§6.2.8.3):

$$V_{Ed} \leq 0.5 \cdot V_{pl,Rd} \rightarrow \text{No hay interacción}$$

B.3 – Flexocompresión (§6.2.8.1.c):

$$\frac{N_{Ed}}{N_{pl,Rd}} + \frac{M_{y,Ed}}{M_{y,pl,Rd}} + \frac{M_{z,Ed}}{M_{z,pl,Rd}} \leq 1$$

DIMENSIONADO PILARES CTE: PANDEO

B) Flexocompresión (§6.3.4.2.1):

Comprobación en eje fuerte (sin pandeo por torsión):

$$\frac{N_{Ed}}{\chi_y N_{pl,Rd}} + k_y \frac{c_{m,y} M_{y,Ed}}{M_{y,pl,Rd}} + 0.6k_z \frac{c_{m,z} M_{z,Ed}}{M_{z,pl,Rd}} \leq 1$$

Resistencia sin pandeo

Reducción pandeo

Factor M equivalente

Amplificación M

Comprobación en eje débil (sin pandeo por torsión)

$$\frac{N_{Ed}}{\chi_z N_{pl,Rd}} + 0.6k_y \frac{c_{m,y} M_{y,Ed}}{M_{y,pl,Rd}} + k_z \frac{c_{m,z} M_{z,Ed}}{M_{z,pl,Rd}} \leq 1$$

DIMENSIONADO PILARES CTE: RESISTENCIA

$$\frac{N_{Ed}}{\chi_y N_{pl,Rd}} + k_y \frac{c_{m,y} M_{y,Ed}}{M_{y,pl,Rd}} + 0.6 k_z \frac{c_{m,z} M_{z,Ed}}{M_{z,pl,Rd}} \leq 1$$

Coeficientes de interacción (amplificación)
(Tabla 6.9)

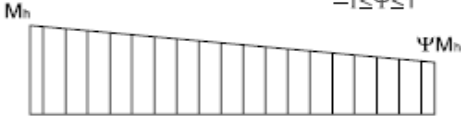
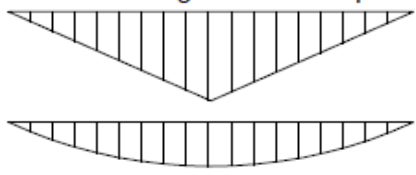
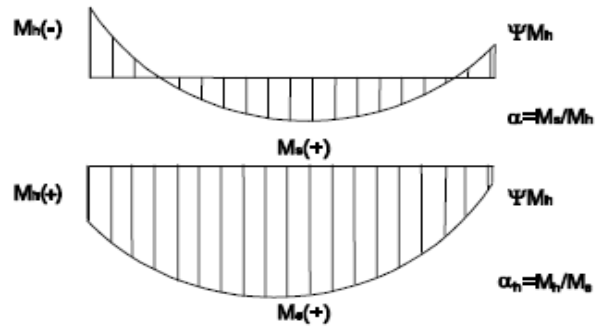
Tabla 6.9 Coeficientes de interacción

Clase	Tipo de sección	k_y	k_z
1 y 2	I, H, abiertas	$1 + (\bar{\lambda}_y - 0,2) \cdot \frac{N_{Ed}}{\chi_y N_{C,Rd}}$	$1 + (2 \cdot \bar{\lambda}_z - 0,6) \cdot \frac{N_{Ed}}{\chi_z N_{C,Rd}}$
	Hueca delgada		$1 + (\bar{\lambda}_z - 0,2) \cdot \frac{N_{Ed}}{\chi_z N_{C,Rd}}$

DIMENSIONADO PILARES CTE: RESISTENCIA

$$\frac{N_{Ed}}{\chi_y N_{pl,Rd}} + k_y \frac{c_{m,y} M_{y,Ed}}{M_{y,pl,Rd}} + 0.6 k_z \frac{c_{m,z} M_{z,Ed}}{M_{z,pl,Rd}} \leq 1$$

Coeficientes de momento equivalente
(Tabla 6.10)

<p>Momentos de extremo $-1 \leq \psi \leq 1$</p> 	$c_{m,j} = 0,6 + 0,4 \cdot \psi \geq 0,4$
<p>Momento debido a cargas laterales coplanarias</p> 	$c_{m,i} = 0,9$ $c_{m,i} = 0,95$
<p>Momentos debidos a cargas laterales y momentos de extremos</p> 	$c_{m,i} = 0,1 - 0,8 \cdot \alpha \geq 0,4$ si $-1 \leq \alpha \leq 0$ $c_{m,i} = 0,2 + 0,8 \cdot \alpha \geq 0,4$ si $0 \leq \alpha \leq 1$ $c_{m,i} = 0,95 + 0,05 \cdot \alpha_h$ con $-1 \leq \alpha_h \leq 1$